

ИТН «Технологии высокопроизводительных вычислений, включая суперкомпьютерные технологии»

Моделирование турбулентности в промышленных приложениях

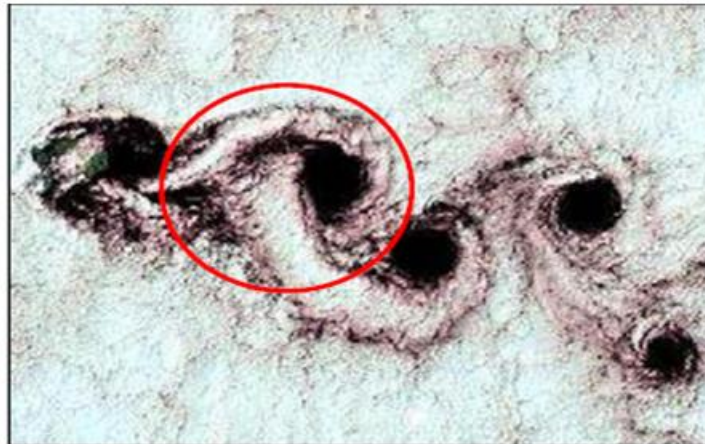
Национальный центр физики и математики

Молодёжная лаборатория № FSWE-2021-0009 национального проекта «Наука и университеты» - «Разработка численных методов, моделей и алгоритмов для описания гидродинамических характеристик жидкостей и газов в естественных природных условиях, и условиях функционирования промышленных объектов»

КОЗЕЛКОВ АНДРЕЙ СЕРГЕЕВИЧ
д.ф.-м.н., руководитель разработки ЛОГОС-АЭРО-ГИДРО

Большая часть практически важных течений являются турбулентными

Природа



Извержение
вулкана

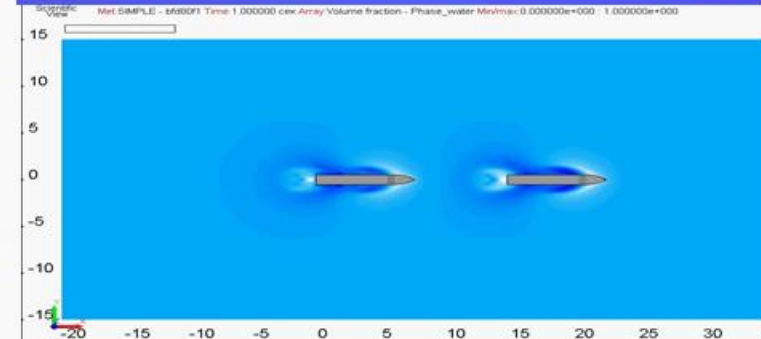
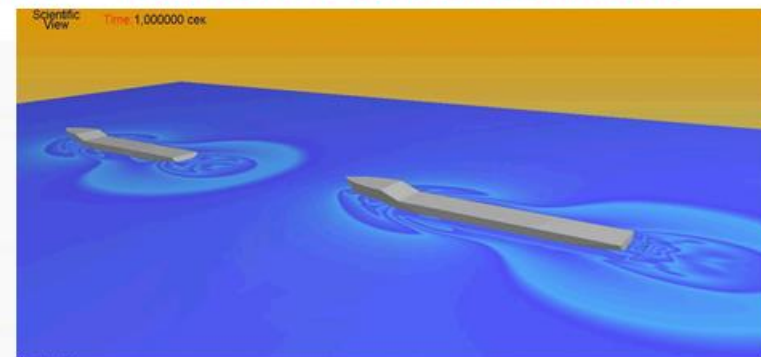
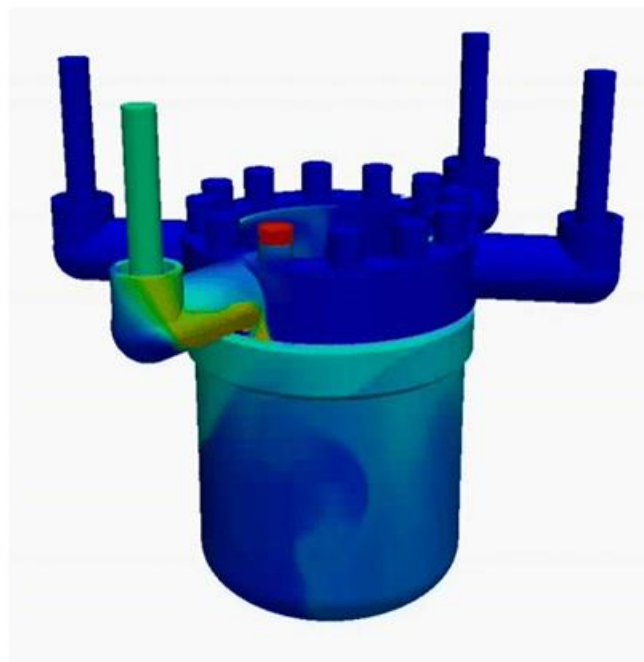
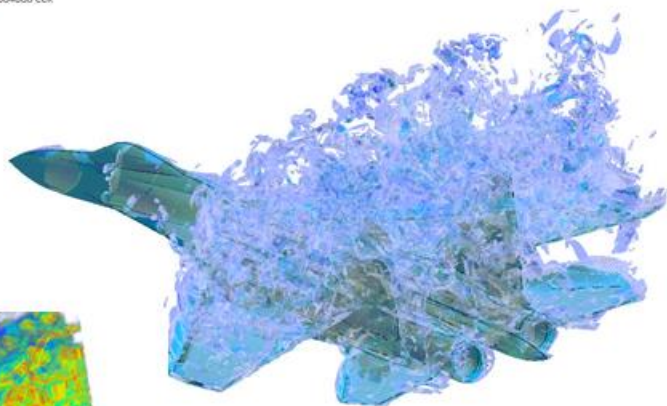
Затопленная
струя

След за островом в океане

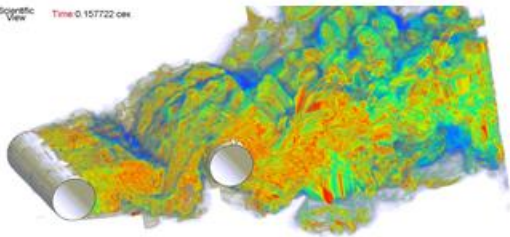
Галактические облака

Техника

Scientific View Met LogosTVD Time: 0.004000 sec



Scientific View Time: 0.157722 sec



Все известные определения турбулентности не отражают всю суть этого физического явления

Турбулентность – это трехмерное нестационарное движение жидкости, в котором вследствие растяжения вихрей создается непрерывное распределение хаотических пульсаций параметров потока в интервале длин волн от минимальных, определяемых вязкими силами, до максимальных, определяемых граничными условиями *П.Брэдшоу*

Турбулентность - это неупорядоченное движение, которое возникает в жидкостях, когда они обтекают непроницаемые поверхности или же когда соседние друг с другом потоки одной и той же жидкости следуют рядом или проникают один в другой. *Т. Карман*

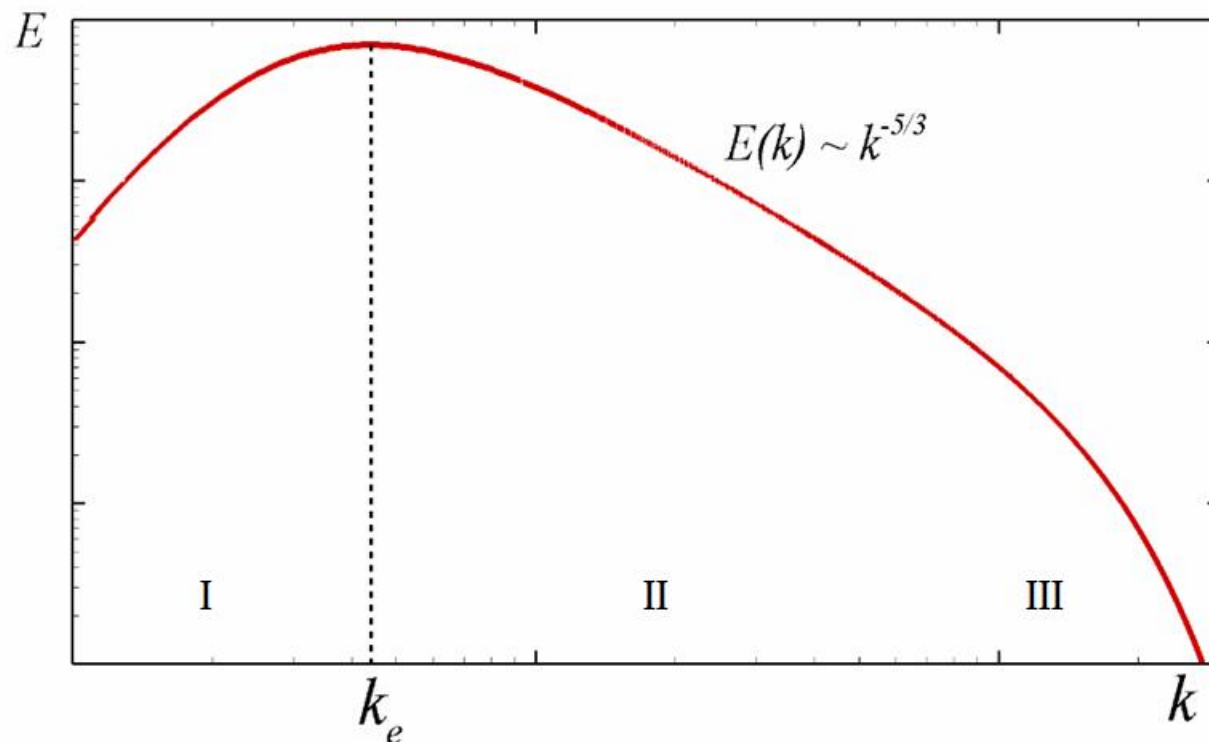
Турбулентное движение жидкости предполагает наличие неупорядоченного течения, в котором различные величины претерпевают хаотическое изменение во времени и по пространственным координатам и при этом могут быть выделены статистически точные их осредненные значения. *И. Хинце*

Общее свойство:

- Трехмерный **нестационарный** характер;
- Наличие в потоке крупных когерентных структур;
- Наличие в потоке очень мелких хаотичных структур.

Численное моделирование:

- Решение уравнений Навье-Стокса во всех масштабах;
- «Супер» мелкие сетки;
- Область источника (турбулизатор);
- Области диссипации «крупных» вихрей;
- Области диссипации «мелких» вихрей;
- Пограничный слой;
- Большие углы атаки;



Прямое численное разрешение всех масштабов турбулентного течения – **DNS**

Решение полных нестационарных трехмерных уравнений Навье–Стокса, что при отсутствии численных и другого рода ошибок позволяет получить мгновенные характеристики турбулентного потока. (Миллиард ячеек сетки для разрешения всех вихрей в области 0,1 на 0,1 м.)

Осреднение по малому интервалу «времени» и «пространству» - **RANS** Система незамкнута

$$u = \bar{u} + u'$$

$$\frac{\partial \bar{u}}{\partial x} + \frac{\partial \bar{v}}{\partial y} + \frac{\partial \bar{w}}{\partial z} = 0$$

$$\frac{\partial \bar{u}}{\partial t} + (\bar{u}\nabla)\bar{u} = -\frac{1}{\rho}\nabla(\bar{p}) + \nabla^2\left(\frac{\mu}{\rho}\bar{u}\right) - \nabla\rho\overline{u'_i u'_j}$$

Замыкание осуществляется на основе гипотезы Буссинеска, устанавливающей связь между напряжениями Рейнольдса и осредненными параметрами течения

$$\tau_{ij}^t = -\rho\overline{u'_i u'_j} = \mu_t \left[\frac{\partial \bar{u}_i}{\partial x_j} + \frac{\partial \bar{u}_j}{\partial x_i} \right] - \frac{2}{3}\rho k\delta_{ij}, \quad \mu_t = \frac{C_\mu \rho k^2}{\varepsilon}$$

RSM - Определение отдельно каждой компоненты, входящей в тензор напряжений Рейнольдса на основе численного решения уравнений переноса (6 уравнений)

RANS – определение турбулентной вязкости μ_t с помощью полуэмпирической модели турбулентности

$$\frac{\partial \rho k}{\partial t} + \frac{\partial \rho u_i k}{\partial x_i} = \frac{\partial}{\partial x_i} \left(\mu_t + \frac{\mu_t}{\sigma_k} \right) \frac{\partial k}{\partial x_i} + \tilde{P}_t - \rho\varepsilon + P_B$$

$$\frac{\partial \rho\varepsilon}{\partial t} + \frac{\partial \rho u_i \varepsilon}{\partial x_i} = \frac{\partial}{\partial x_i} \left(\mu_t + \frac{\mu_t}{\sigma_\varepsilon} \right) \frac{\partial \varepsilon}{\partial x_i} + C_{\varepsilon 1} \frac{\varepsilon}{k} \tilde{P}_t -$$

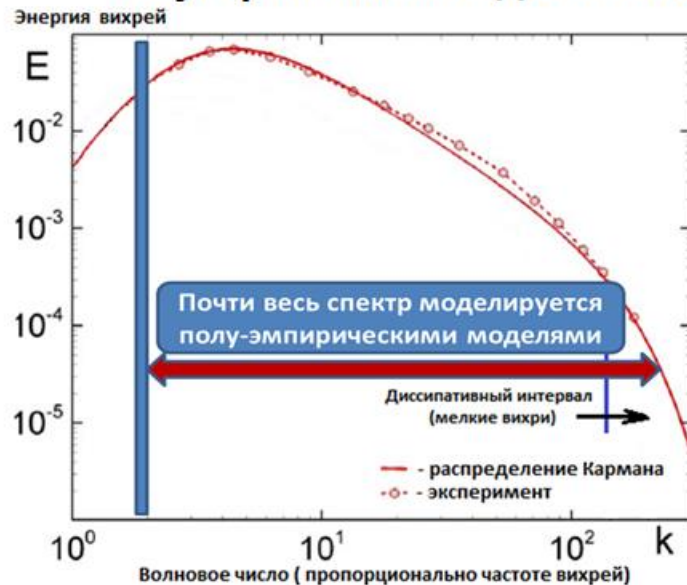
$$-C_{\varepsilon 2} \frac{\rho\varepsilon^2}{k} + C_{\varepsilon 3} \frac{\varepsilon}{k} P_B + C_{\varepsilon 4} \rho\varepsilon \frac{\partial u_i}{\partial x_i}$$

- Начиная с 70-х годов прошлого века разработаны десятки модификаций **k-ε RNG**, **k-ε Chen**, **k-ε Realizable** и масса других
- Константы определяются экспериментально
- Наиболее успешные индустриальные модели - **SST** и **SA**

Преимущества для индустриальных приложений

- Приемлемое сеточное разрешение
- Устойчивый итерационный процесс
- Приемлемые результаты для интегральных характеристик

Неустрашимый недостаток **RANS** - используется осреднение по всему диапазону турбулентных масштабов



Модель – моделирует

- Недостаточная точность в основной области (эволюции вихрей)
- Отсутствует сеточная сходимость к точному решению
- Усовершенствования RANS моделей до конца не исчерпаны
- Прогресс - маловероятен
- **Универсальная модель** – неразрешимая задача

Выбор модели турбулентности зависит от характера турбулентного потока, требуемой точности, доступных вычислительных ресурсов и временных затрат. Выбор подходящей модели турбулентности для решения конкретной задачи требует четких представлений свойств и ограничений каждой модели турбулентности.

LES - осреднение уравнений Навье-Стокса по «пространству» - фильтрация



Вихри разрешаются. Вихри, которые меньше размера ячейки – моделируются алгебраическими моделями, остальные *разрешаются*

$$\frac{\partial(\rho \bar{u})}{\partial t} + \nabla \cdot (\rho \bar{u} \bar{u}) = -\nabla p + \nabla \cdot (\tau_{\mu} + \tau_{SGS})$$

$$\mu_{SGS} = (C_s \Delta)^2 S, \quad S = \sqrt{2S_{ij}S_{ij}}$$

$$\Delta = V^{1/3} = (\Delta x \Delta y \Delta z)^{1/3}$$

размер ячейки = размер фильтра

- Какой масштаб вихрей нужен – такой и разрешаю
- Предсказание нестационарных характеристик – спектры пульсаций величин
- Требования к сеточной модели – могут приближаться к DNS

DES – гибридный RANS+LES

Использует автоматическое определение зоны LES (близость к стенке, наличие вихреобразования). Не использует генерацию турбулентных пульсаций - турбулентный контент создается самопроизвольно из-за физических условий.

RANS

- Хорошо работает в пристенных слоях, не требуя много ячеек
- Не обеспечивает нужной точности в основной области

LES

- Требует большое количество ячеек в пристенной области
- Хорошо моделирует эволюцию вихрей в основной области

DES

RANS-моделирование в пристенной слое



LES-моделирование в основной области

Основная идея метода:

- **LES** включается только в тех областях, где размеры ячеек достаточно для разрешения турбулентности (основная область эволюции вихрей)
- **RANS** работает в остальной области течения

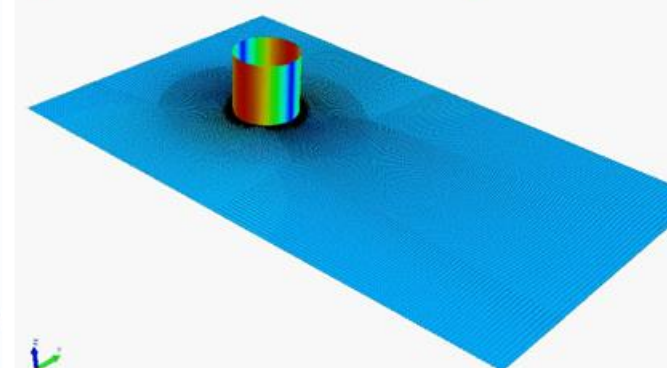
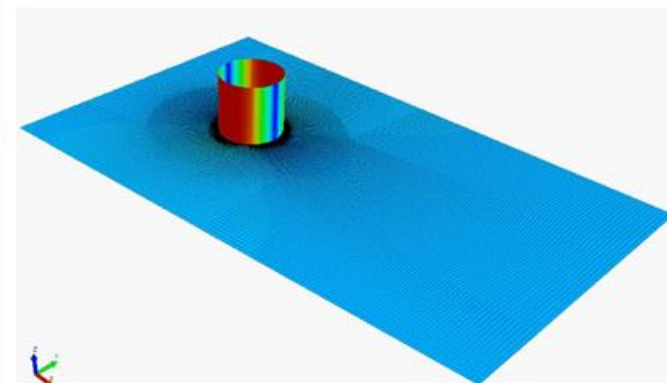
DES-SST

DES-SA

DDES

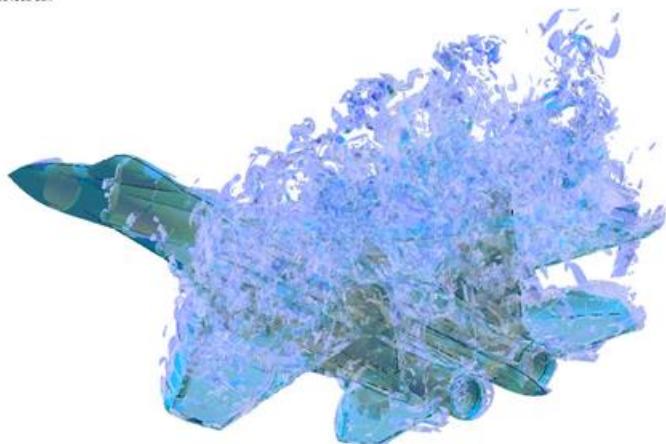
IDDES

Вихревая дорожка Кармана



Итог: RANS, LES, DES, DNS

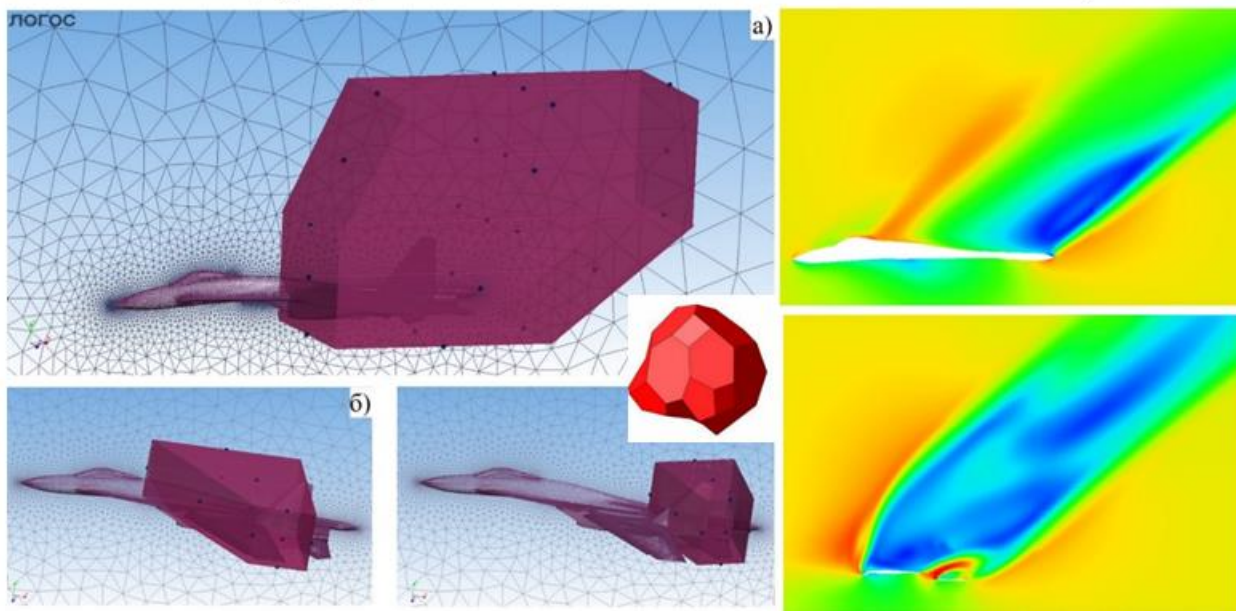
Scientific View Met LogosTVD Time: 0.004000 сек



Spalart P R. Strategies for turbulence modeling and simulations // J. Heat Fluid Flow, 2000, v. 21, pp. 252–263.

Метод	Сетка	Готовность
3D Steady RANS	10^7	1985
3D Unsteady RANS	10^7	1995
DES	10^8	2000
LES	$10^{11,5}$	2045
DNS	10^{16}	2080

Индустриальное использование LES, DES – произвольные неструктурированные сетки



- Проводиться пробный стационарный расчет
- Анализируются особенности структуры течения
- Вводятся локальные измельчения сетки в области формирования отрыва потока

URANS расчет:

Размер сетки: ~70 млн.
Размер ячейки: ~ 0.026м
Число процессоров: ~ 600

DES расчет:

Размер сетки: ~250 млн.
Размер ячейки: ~ 0.013м
Число процессоров: ~1500

Метод отсоединенных вихрей - формулировка на базе **RANS (SST)**

RANS

LES

Гибридный масштаб

Осреднение

VS

Фильтрация

$$l_{DES} = \min\{l_{RANS}, C_{DES}\Delta\}$$

$$\begin{cases} \frac{\partial \rho}{\partial t} + \nabla \cdot (\rho \vec{u}) = 0 \\ \frac{\partial (\rho \vec{u})}{\partial t} + \nabla \cdot (\rho \vec{u} \vec{u}) = -\nabla p + \nabla \cdot (\tau_\mu + \tau_t) \end{cases}$$

$$\tau_\mu = 2\mu \left(S - \frac{1}{3} I \nabla \cdot \vec{u} \right), \quad S = \frac{1}{2} (\nabla \vec{u} + [\nabla \vec{u}]^t),$$

$$\tau_t = 2\mu_t \left(S - \frac{1}{3} I \nabla \cdot \vec{u} \right) + \frac{2}{3} k I; \quad \mu_t = \frac{C_\mu \rho k^2}{\varepsilon}$$

$$\begin{cases} \frac{\partial \rho}{\partial t} + \nabla \cdot (\rho \vec{u}) = 0 \\ \frac{\partial (\rho \vec{u})}{\partial t} + \nabla \cdot (\rho \vec{u} \vec{u}) = -\nabla p + \nabla \cdot (\tau_\mu + \tau_{SGS}) \end{cases}$$

$$\tau_{SGS} = 2\mu_{SGS} \left(S - \frac{1}{3} (\nabla \cdot \vec{u}) I \right) + \frac{2}{3} k_{SGS} I,$$

$$\mu_{SGS} = (C_S \Delta)^2 \left\{ 1.0 - \exp \left[- (y^+ / 25)^3 \right] \right\} S$$

$$C_{DES}\Delta > l_{RANS} \quad \mathbf{RANS} \quad C_{DES}\Delta < l_{RANS} \quad \mathbf{LES}$$

$$\rho \frac{Dk}{Dt} = \nabla \cdot [(\mu + \sigma_k \mu_T) \nabla k] + P_k - \rho k^{3/2} / l_{RANS}$$

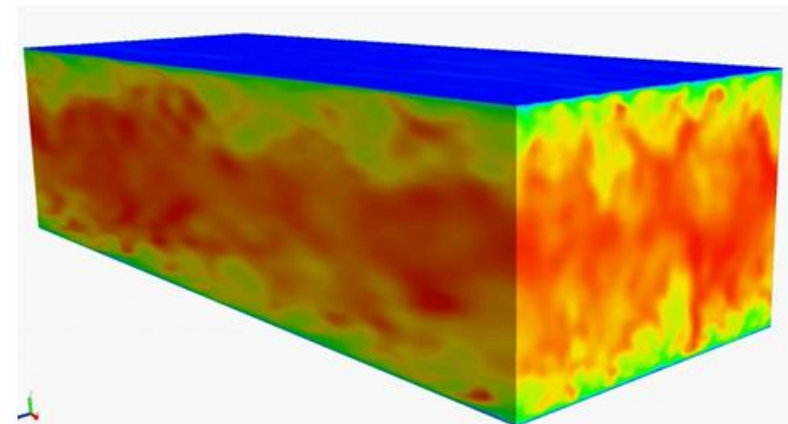
$$\rho \frac{Dk_{SGS}}{Dt} = \nabla \cdot [(\mu + \sigma_k \mu_{SGS}) \nabla k] + P_k - \rho k^{3/2} / l_{LES}$$

$$l_{RANS}^{SST} = k^{1/2} / (\beta^* \omega) \quad l_{LES} = C_{DES}^{SST} \Delta$$

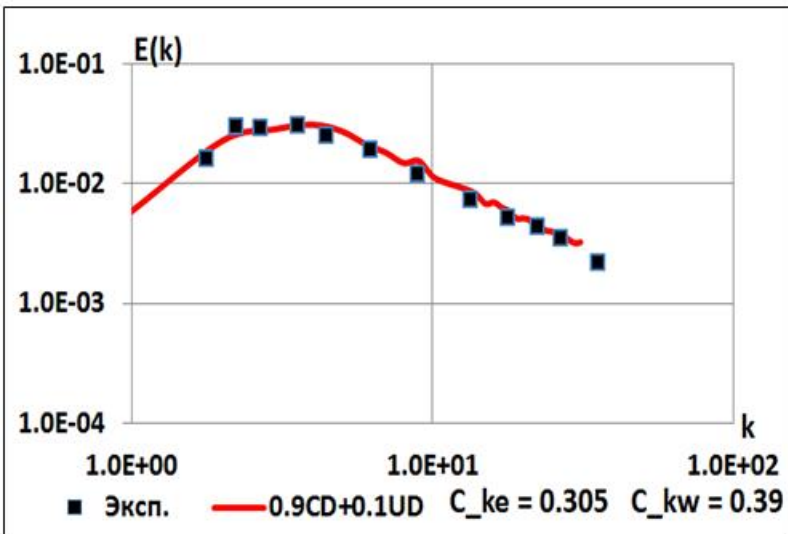
В формулировку DES на базе SST входят 2 константы: $C_{k\varepsilon}, C_{k\omega}$

- Константы определяют работу модели DES в LES-области (влияют на величину подсеточной вязкости)
- Их значения напрямую влияют на моделирование каскадной передачи энергии турбулентных вихрей
- Значения $C_{k\varepsilon}, C_{k\omega}$ сильно зависят от используемой численной схемы
- Необходима калибровка $C_{k\varepsilon}, C_{k\omega}$ для каждой отдельной численной схемы (!)

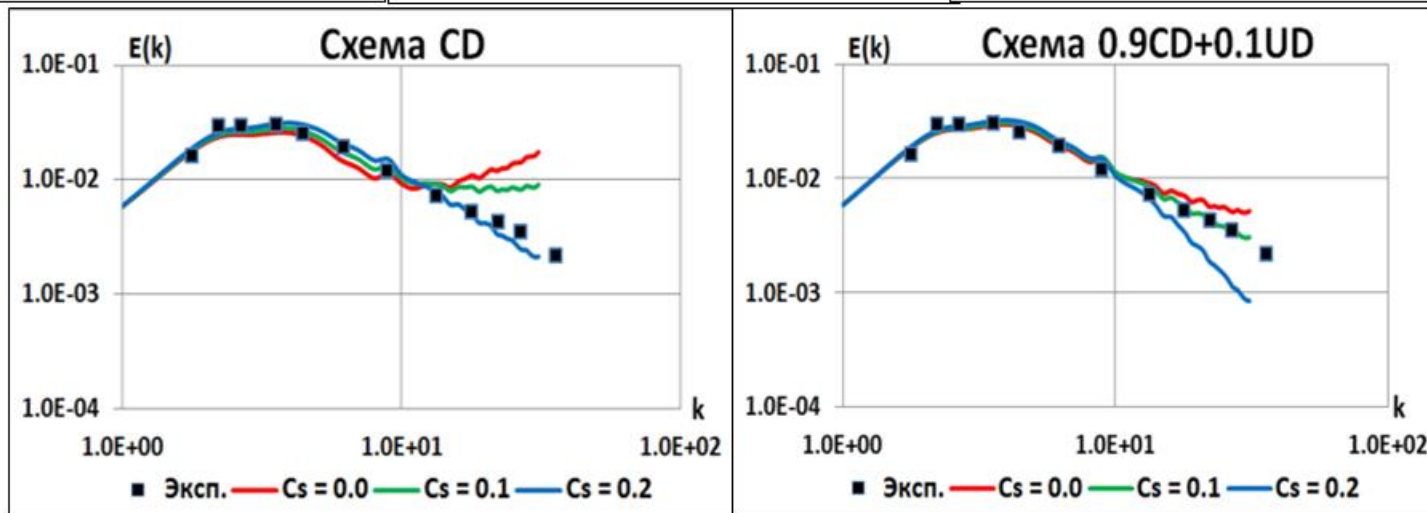
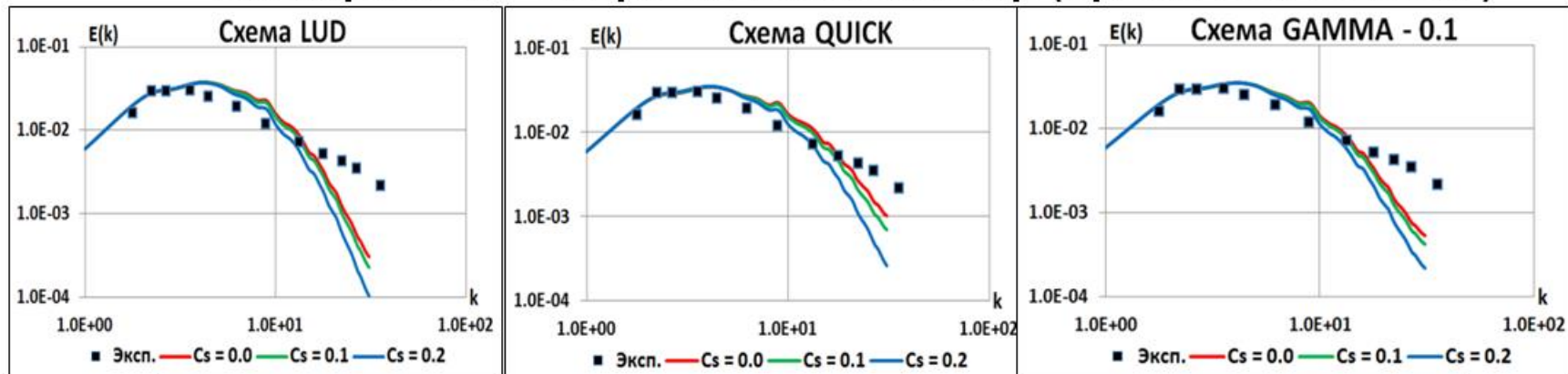
LES



DES



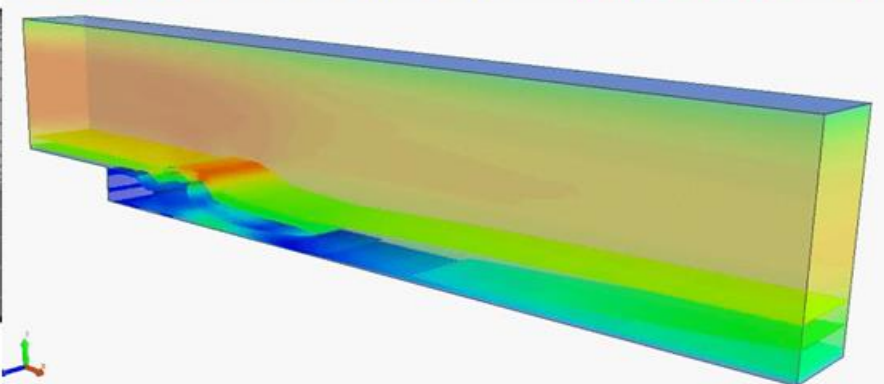
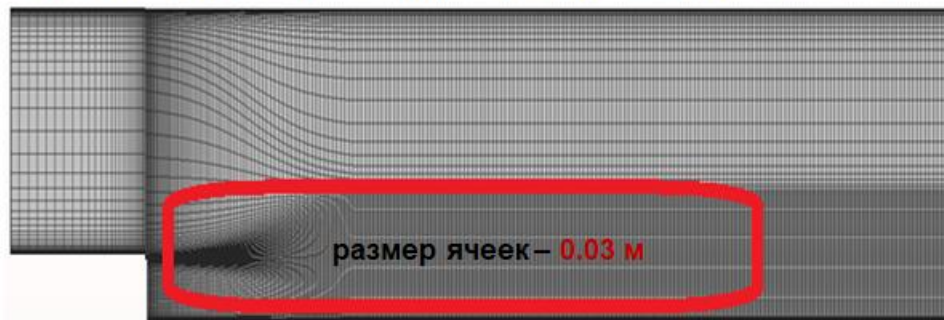
Эксперимент - энергетический спектр (время 0.87 и 2 сек.)



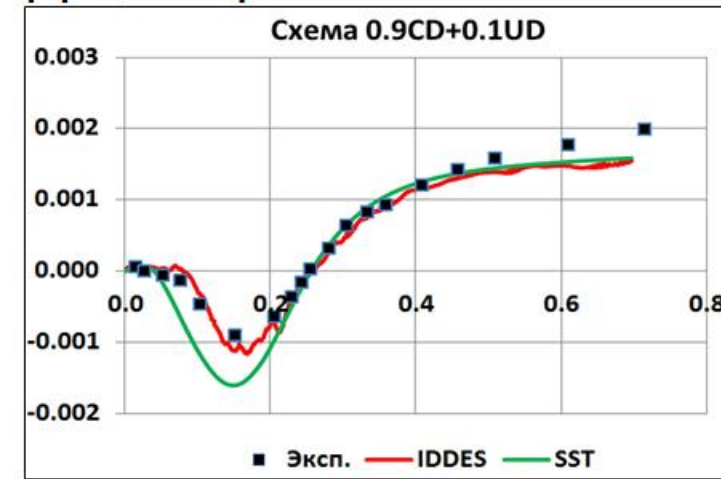
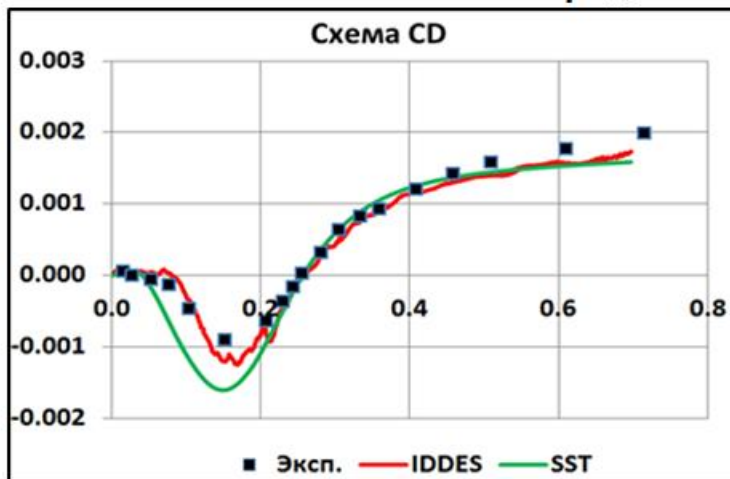
- Схемы **занижают** энергию **высокочастотной части спектра** и даже при нулевой подсеточной вязкости и не обеспечивают правильного описания каскадной передачи энергии
- **CD** и **0.9CD+0.1UD** правильно описывают результирующий энергетический спектр

- Конечно-объемные схемы менее диссипативны на кубических элементах
- В области LES предпочтительна гексагональная изотропная сетка - в промышленных задачах построение такой сетки трудоемкая и не всегда возможная задача

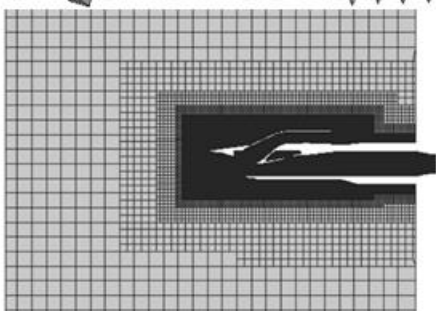
Обратный подогреваемый уступ - количество ячеек – 1.1 млн, Y^+ вблизи стенок – менее 1, $Re = \sim 28000$



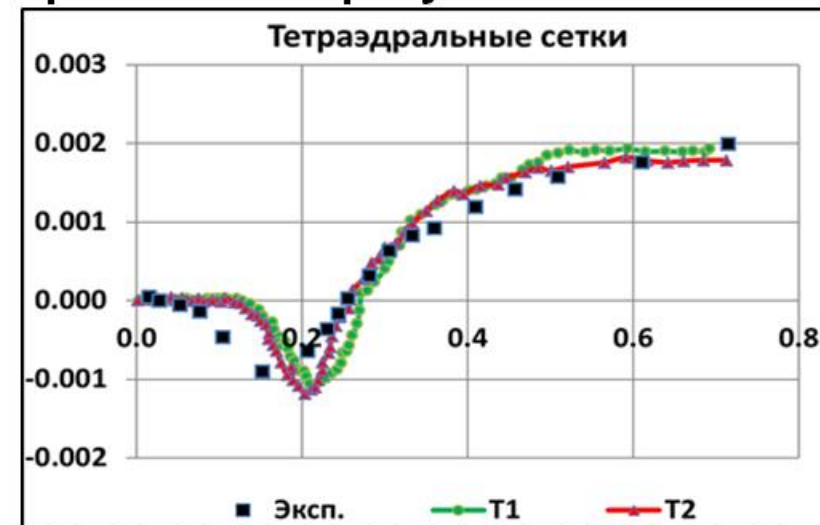
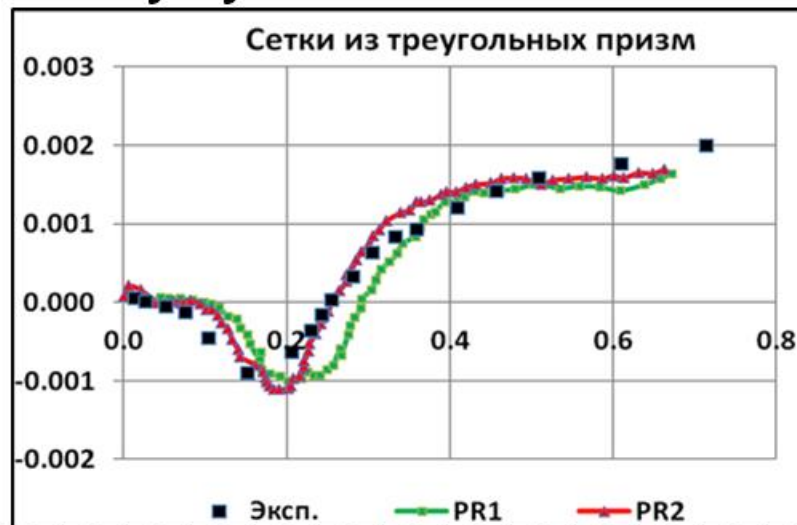
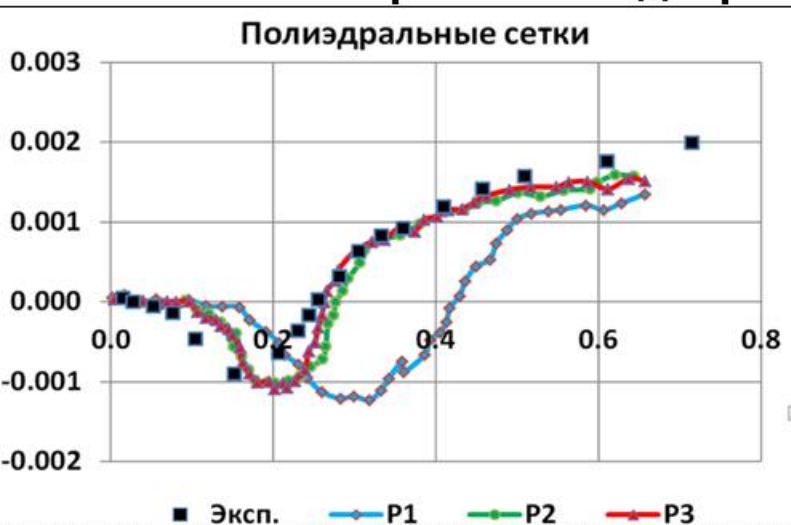
Гексагональная сетка - Осредненный коэффициент трения на нижней стенке



- Заметное улучшение результата при использовании DES
- Одинаковое решение, при разных схемах дискретизации - правильная калибровка



Обратный подогреваемый уступ – Схема 0.9CD+0.1UD – Приемлемый результат



Размер ячеек в основной области в **1.5 раза** меньше, чем на гексагональной, кол-во ячеек – в **~3 раза** больше.

Размер ячеек в основной области в **1.4 раз** меньше чем на гексагональной, кол-во ячеек – в **~4 раза** больше.

Размер ячеек в основной области в **1.7 раз** меньше чем на гексагональной, кол-во ячеек – в **~6 раза** больше.

Требования к сеткам для DES

Характерные размеры ячеек оцениваем из условия разрешения погранслоя

Безразмерная величина ячейки вдоль потока

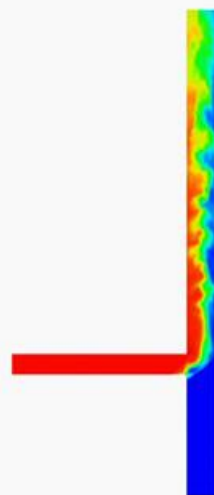
$$\Delta x^+ < 60,$$

$$\Delta x^+ = \rho u_t \Delta x / \nu$$

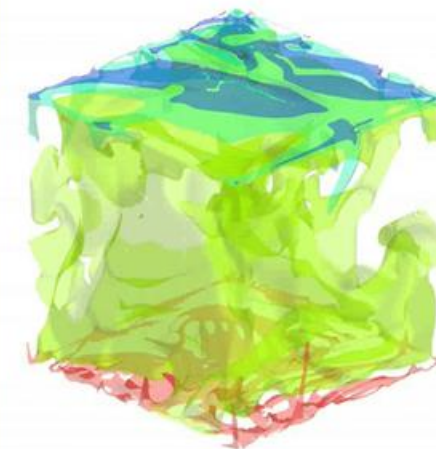
Безразмерная величина ячейки поперек потока

$$\Delta y^+ < 25,$$

$$\Delta y^+ = \rho u_t \Delta y / \nu$$



	Смешение теплоносителей	Течение в трубе с охлаждением
Re	$1,5 \cdot 10^4$	$1,5 \cdot 10^5$
Кол-во ячеек	~15-50 млн	~1 млрд.
Шаги по времени	$\sim 3 \cdot 10^4$	$\sim 3 \cdot 10^5$
Кол-во ядер	~300-1000	~15-20 тыс.
Время счета	~24-48 ч.	> 480 ч.



Альтернативная низкодиссипативная численная схема BCD

Основная идея формулировки схемы: динамическое изменение степени лимитирования

Осцилляций нет – схема функционирует как **CD**, осцилляции есть – **GAMMA = CD+UD**

Доля противоточности определяется автоматически – в наиболее проблемных местах «максимум», в наименее проблемных – «минимум»

$$\left\{ \begin{array}{l} \varphi_k^* = (\lambda\gamma - \gamma + 1)\varphi_p^* + \gamma - \lambda\gamma, \quad (\varphi_p^* < 0 \cup \varphi_p^* > 1) \\ \varphi_k^* = \frac{(\lambda-1)(1-\gamma)}{\beta}(\varphi_p^*)^2 + \left[(1-\gamma)\left(1 + \frac{1-\lambda}{\beta}\right) + \lambda\gamma \right] \varphi_p^* + \gamma(1-\lambda), \quad (0 \leq \varphi_p^* \leq \beta) \\ \varphi_k^* = \lambda\varphi_p^* + (1-\lambda), \quad (\beta < \varphi_p^* \leq 1) \end{array} \right.$$

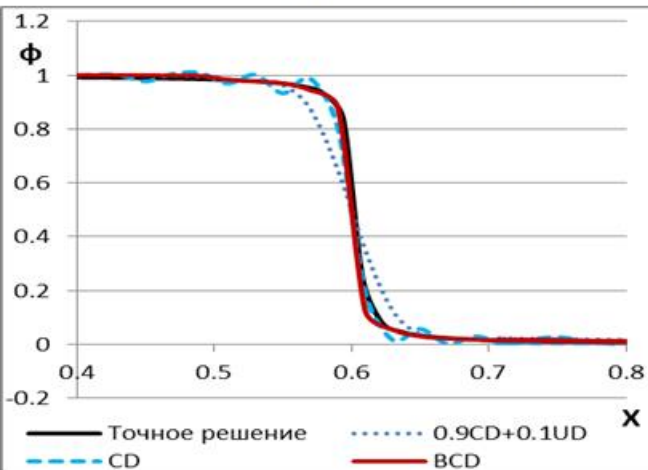
Ограничение определяется параметром γ :

$\gamma = 1 \rightarrow$ BCD = CD

$\gamma = 0 \rightarrow$ BCD = GAMMA

Свойства схем

Перенос фронта скаляра



Вырождение турбулентности

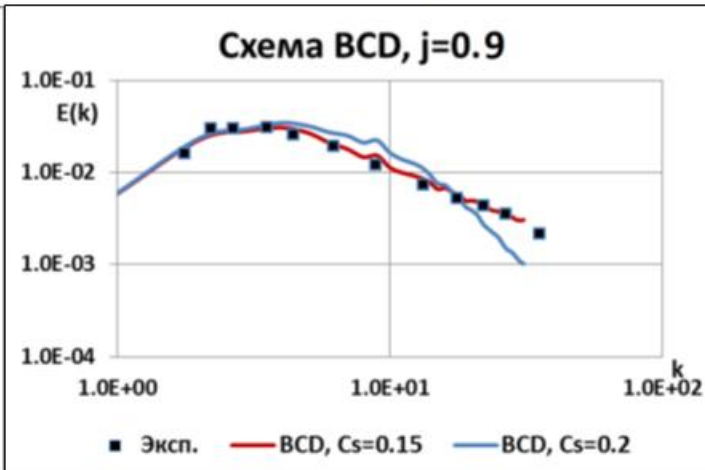


Схема CD

Численные осцилляции есть и имеет хороший фронт

Схема 0.9CD+0.1UD

Численных осцилляций нет и пологий фронт,

Схема GAMMA

Численных осцилляций нет и имеет хороший фронт

Схема BCD

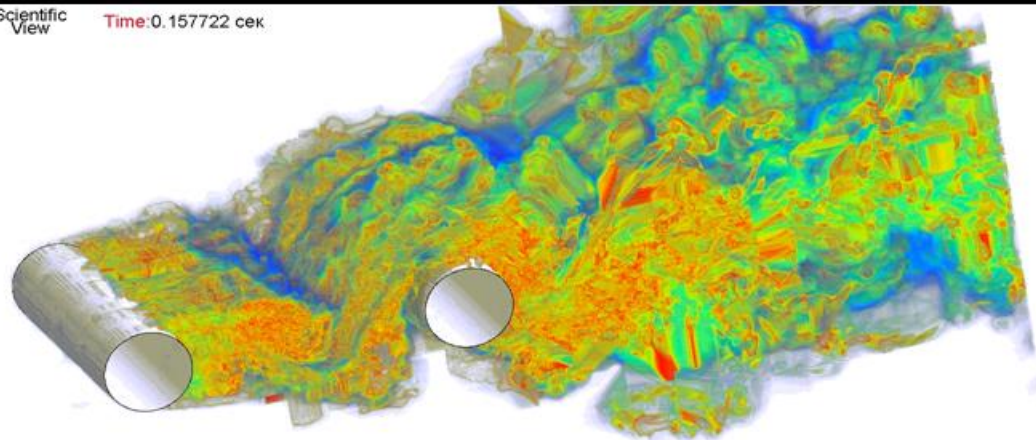
Численных осцилляций нет и имеет хороший фронт и менее диссипативна



Внешняя гидродинамика

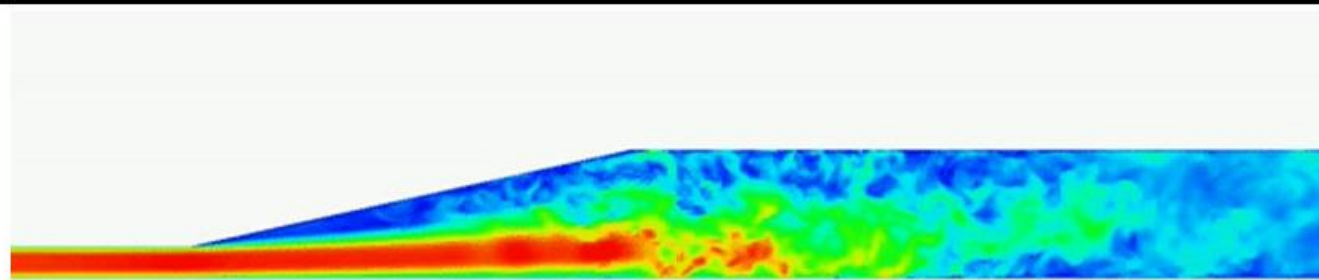
Обширные отрывные зоны в неограниченном пространстве

Scientific View Time: 0.157722 сек.



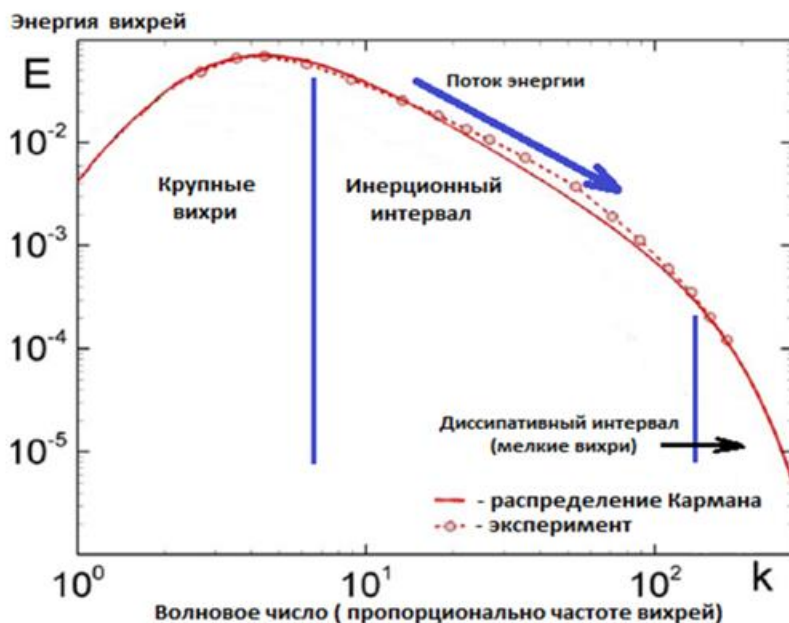
Внутренняя гидродинамика –

Ограниченность – плохо и долго развиваются «большие» вихри



Может генерировать пульсации?

Зонный RANS-LES подход эффективен для течений с любым размером отрывной зоны, в том числе и в зонах с малым отрывом

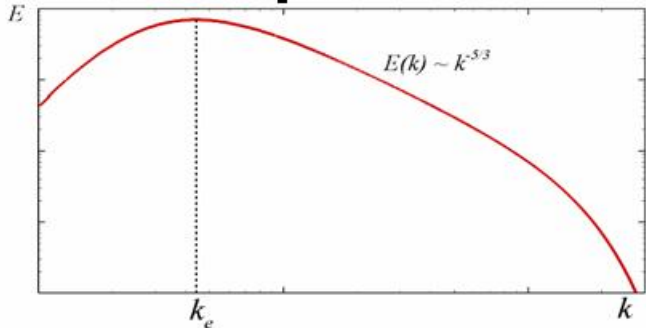


Генерация пульсаций

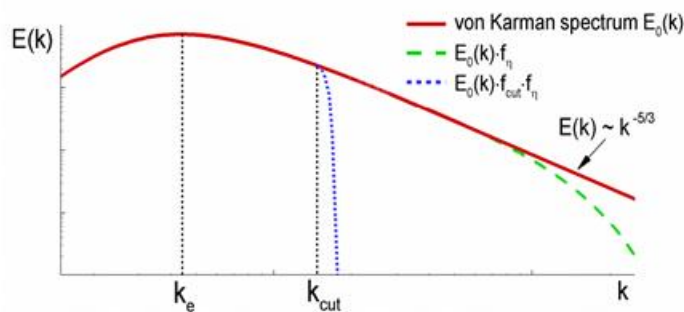
- Восстановление частотного спектра турбулентных пульсаций по RANS-решению
- Генерация поля скорости, удовлетворяющему заданному тензору напряжений Рейнольдса, и найденному спектру

Тензор напряжений – точность генерации вихрей

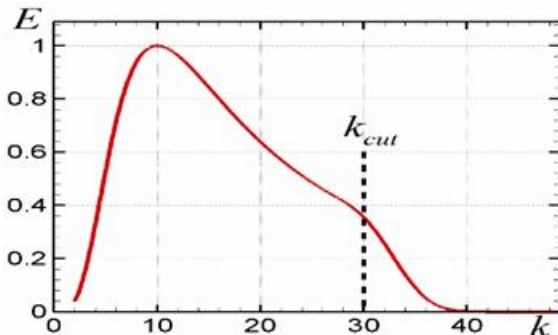
Колмогоровский спектр



Спектр турбулентных пульсаций при различных параметрах турбулентности



$$E(k) = \frac{(k/k_e)^4}{[1 + 2.4(k/k_e)^2]^{17/6}} f_\eta f_{cut}$$



Основная идея:

Этап 1. Восстановление частотного спектра турбулентных пульсаций по RANS-решению, найденному на первом этапе. Используются эмпирические соотношения. **RANS?**

Этап 2. Генерация поля скорости, удовлетворяющему заданному тензору напряжений Рейнольдса, и найденному спектру.

Этап 1

Определяем скорость и тензор – если **RANS**, то $\tau_{ij}^t = -\rho \overline{u_i' u_j'} = \mu_t \left[\frac{\partial \overline{u_i}}{\partial x_j} + \frac{\partial \overline{u_j}}{\partial x_i} \right] - \frac{2}{3} \rho k \delta_{ij}$, $\mu_t = \frac{C_\mu \rho k^2}{\varepsilon}$

Если уточнить, то нужен **RSM**, где $u_i' = a_{ij} \Psi_j$ через тензор анизотропии $a_{ij} = \frac{\overline{u_i' u_j'}}{k_t} - \frac{2}{3} \delta_{ij}$

$$a_{ij} = \beta_1 T_{1,ij} + \beta_2 T_{2,ij} + \beta_3 T_{3,ij} + \beta_4 T_{4,ij} + \beta_6 T_{6,ij} + \beta_9 T_{9,ij}$$

Тензорные группы определяются согласно модели турбулентности RSM

$$S_{ij} = \frac{\tau}{2} \left(\frac{\partial u_i}{\partial x_j} + \frac{\partial u_j}{\partial x_i} \right) \quad \Omega_{ij} = \frac{\tau}{2} \left(\frac{\partial u_i}{\partial x_j} - \frac{\partial u_j}{\partial x_i} \right)$$

$$T_{1,ij} = S_{ij}, \quad T_{2,ij} = S_{ik} S_{kj} - \frac{1}{3} \Pi_s \delta_{ij}, \quad T_{3,ij} = \Omega_{ik} \Omega_{kj} - \frac{1}{3} \Pi_\Omega \delta_{ij};$$

$$T_{4,ij} = S_{ik} \Omega_{kj} - \Omega_{ik} S_{kj}, \quad T_{6,ij} = S_{ik} \Omega_{kl} \Omega_{lj} - \Omega_{ik} \Omega_{kl} S_{ij} - \frac{2}{3} IV \delta_{ij} - \Pi_\Omega S_{ij};$$

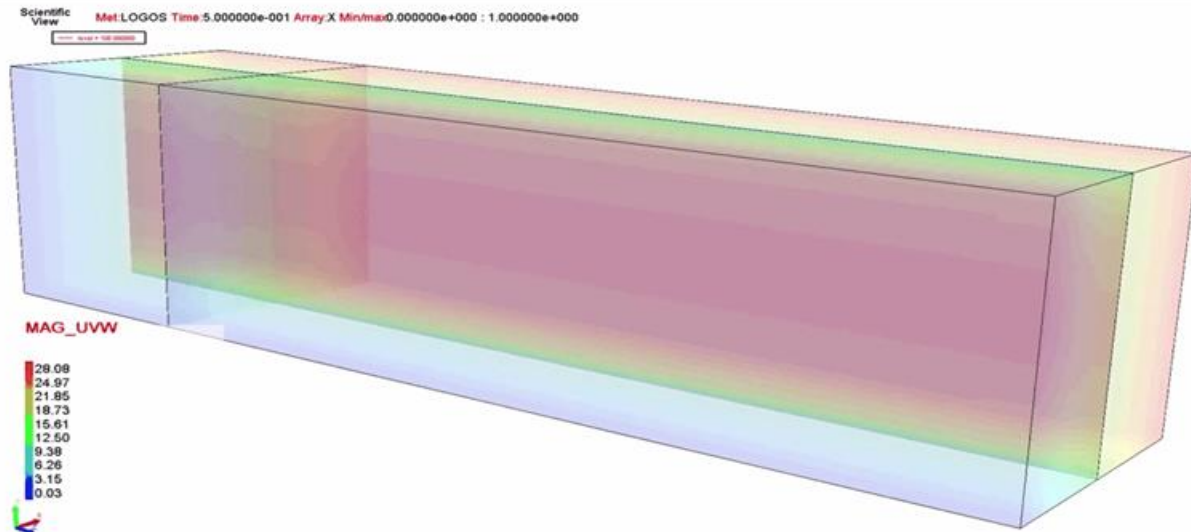
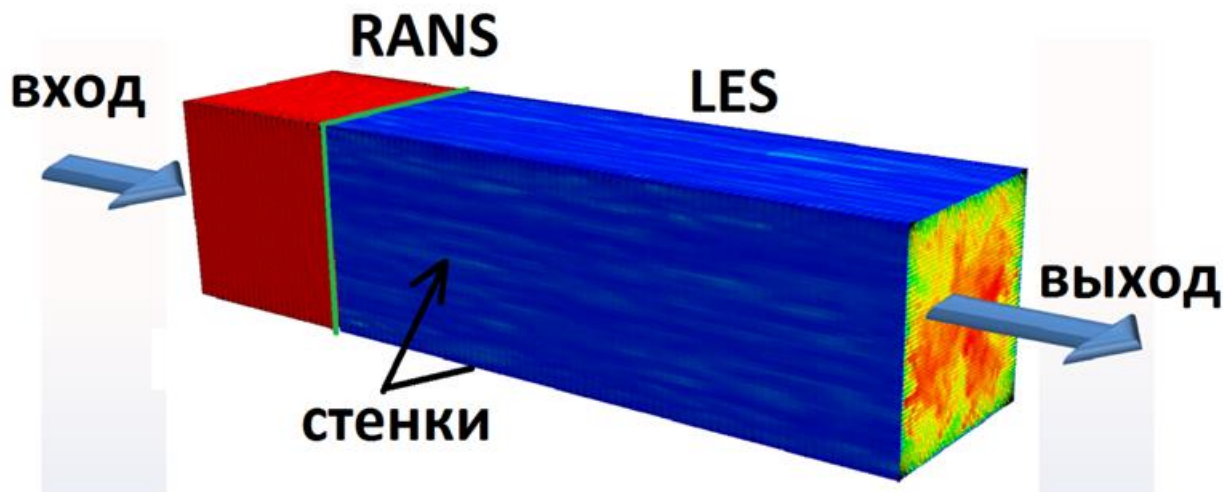
$$T_{9,ij} = \Omega_{ik} S_{kl} \Omega_{lm} \Omega_{mj} - \Omega_{ik} \Omega_{kl} S_{lm} \Omega_{mj} + \frac{1}{2} \Pi_\Omega (S_{ik} \Omega_{kj} - \Omega_{ik} S_{kj}).$$

Этап 2

- На активной части интерфейса генерируются турбулентные пульсации поля скорости
- Они выступают как входное граничное условие для LES области и как граничное условие с заданным выходным потоком для RANS области.

Области LES расчета зафиксированы - расположены в зонах, где необходимо уточнение численного решения

Явная генерация турбулентных пульсаций производится специальными алгоритмами на границе областей RANS-LES



Технология

Двухэтапный расчет

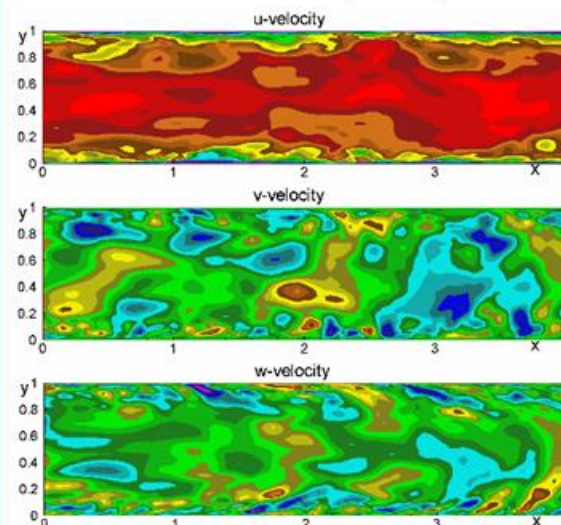
Этап 1 – стационарный RANS расчет

Определяются параметры турбулентности на границе областей. Интерфейс работает как внутренние грани

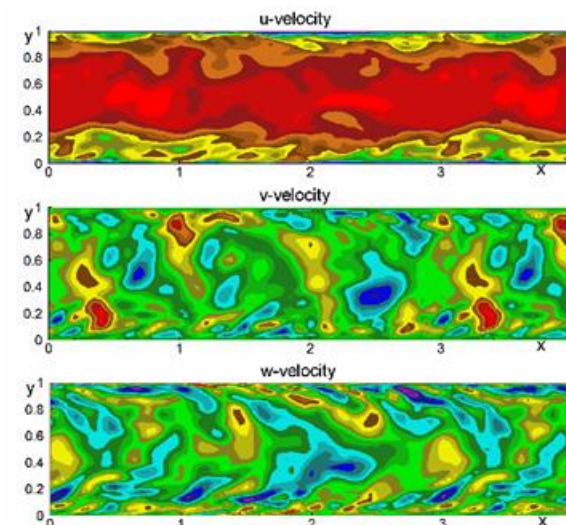
Этап 2 – нестационарный расчет

Интерфейс работает как вход с генерированием турбулентных пульсаций

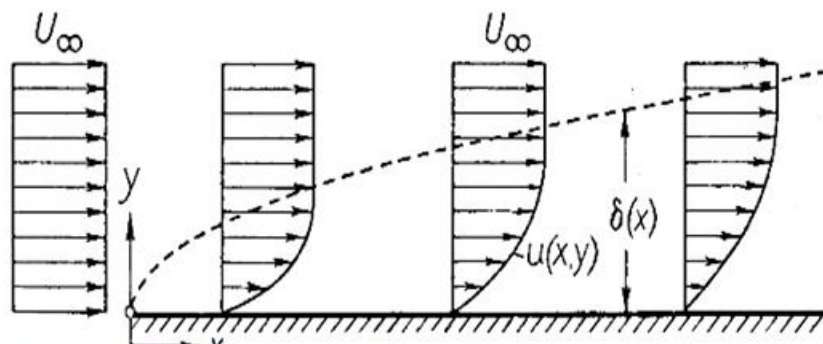
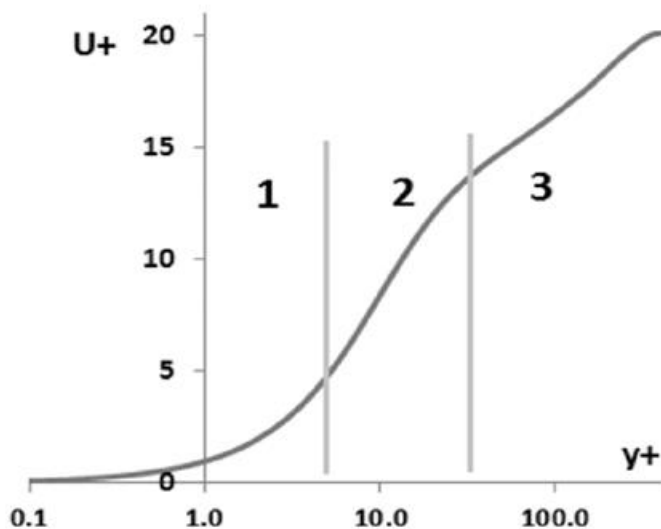
Канал: Генератор



LES



Структура пограничного слоя



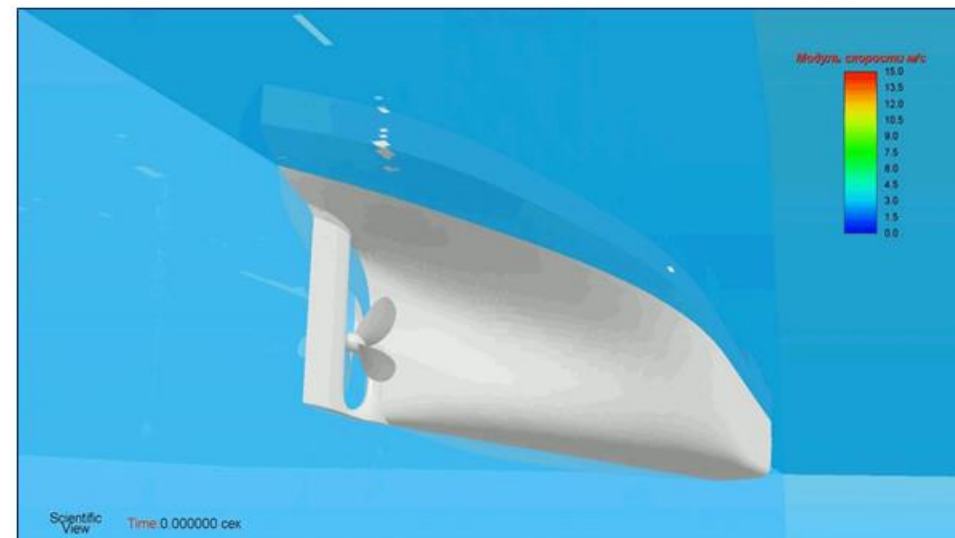
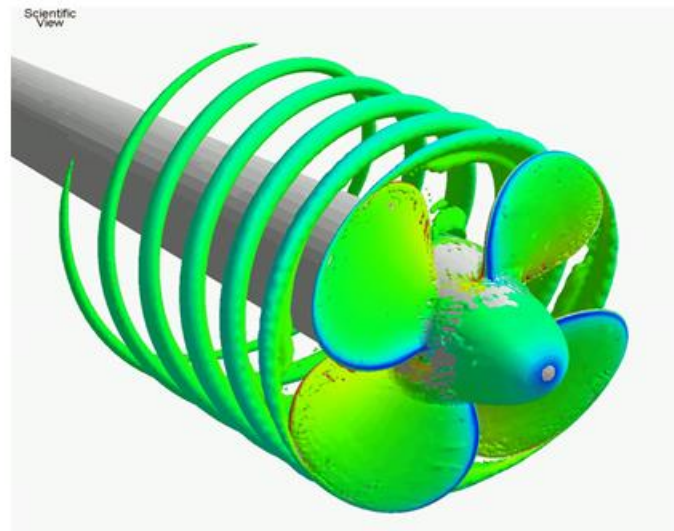
1. Наибольший градиент скорости наблюдается в вязком и переходном подслоях
2. Моделирование – только *очень* подробная сетка вблизи стенки – $y^+ < 1$
3. Для промышленных задач построение таких сеточных моделей не всегда возможно и временно оправдано

1. Вязкий подслой
2. Логарифмический
3. Переходный

Пример – система «судно-винт»

Всегда можно построить сетку $y^+ < 1$

Практически нереально построить сетку $y^+ < 1$



Количественные характеристики

$$u_\tau = \sqrt{\frac{\tau_w}{\rho}} \text{ – динамическая скорость}$$

$$u^+ = \frac{u}{u_\tau} \text{ – безразмерная продольная скорость}$$

$$y^+ = \frac{y\nu}{u_\tau} \text{ – безразмерное расстояние до стенки}$$

Решение для промышленных задач - использование пристеночных функций, которые обеспечивают приемлемую точность предсказания трения на стенке в широком интервале изменения y^+

Модель SST All y^+

Автоматическое определение ширины пограничного слоя

$$\frac{\partial \rho k}{\partial t} + \nabla \cdot (\rho \vec{u} k) = \nabla \cdot [(\mu + \sigma_k \mu_T) \nabla k] + P_k - \beta^* \rho \omega k$$

$$\frac{\partial \rho \omega}{\partial t} + \nabla \cdot (\rho \vec{u} \omega) = \nabla \cdot [(\mu + \sigma_\omega \mu_T) \nabla \omega] + \gamma \frac{\rho}{\sigma_T} P_k - \beta \rho \omega^2 + (1 - F_1) D_{k\omega}$$

Связь скорости в первой пристеночной ячейке с трением на стенке

$$u_1 = v_* \left(\frac{1}{y_+^4} + \left(\frac{k}{\ln(Ey_+)} \right)^4 \right)^{-1/4} \quad v_* \equiv \sqrt{\frac{\tau_w}{\rho}}$$

Удельная скорость диссипации ω в первой расчетной точке

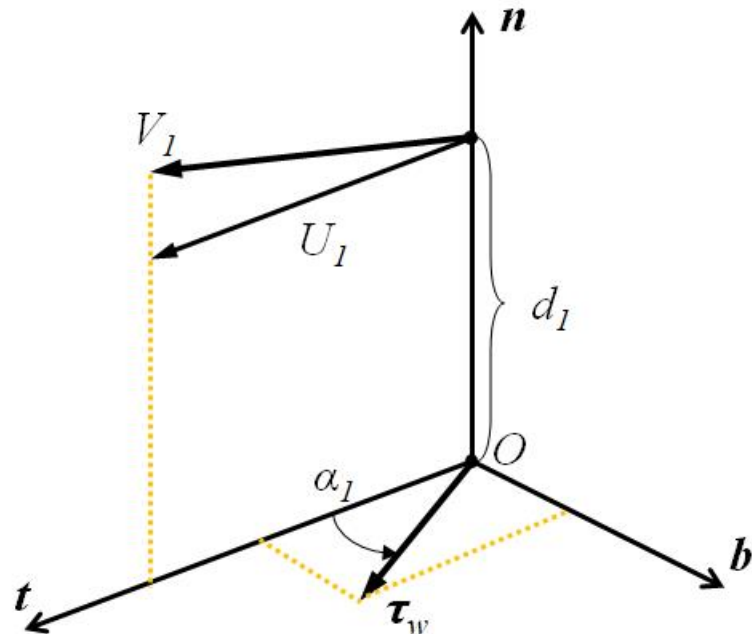
$$\omega_1 = \frac{v_*^2}{\nu} \left(\left(\frac{6}{0.075 y_+^2} \right)^2 + \left(\frac{1}{0.3 k y_+} \right)^2 \right)^{1/2}$$

Требования

- 1. Размер первой пристеночной ячейки: $Y^+ < 1$;**
- 2. Коэффициент роста размера последующих ячеек $k < 1.1 \dots 1.3$;**
- 3. Количество ячеек призматического слоя определяется по выходу толщины ячейки призматического слоя до величин сравнимых с базовым размером ячеек**

Учет вращения стенки

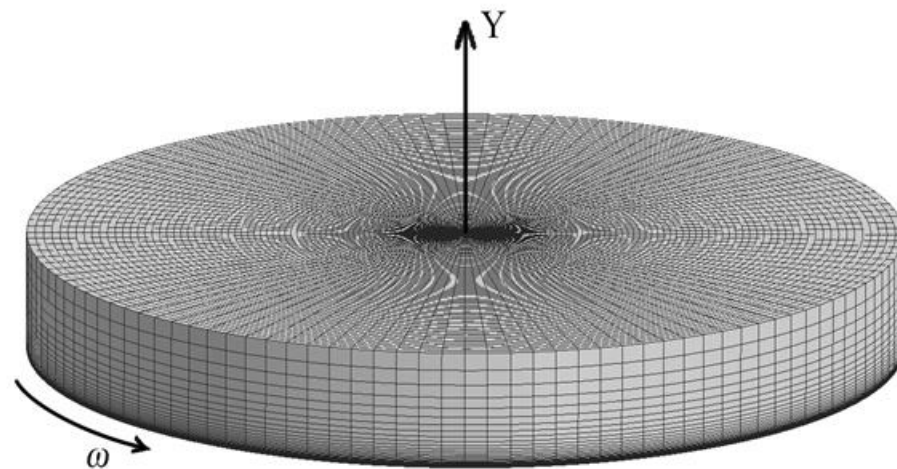
Учёт поправки отклонения вектора трения на стенке от направления вектора скорости на угол α_1



Угол отклонения определяется с помощью формулировки на основе локальных данных (в точке):

$$\operatorname{tg}(\alpha_1) = -\frac{d_1}{U_1} \left(\frac{\partial V_1}{\partial n} \right)_1 F_\alpha(y^+) \quad \left(\frac{\partial V}{\partial n} \right)_1 = n \cdot (\nabla V)_1$$

Вектор относительной скорости может менять своё направление при приближении к стенке, поэтому требуется учитывать угол отклонения для коррекции напряжения трения на стенке T_w



$$t = b \times n, \quad b = n \times V_1 / |V_1|$$

$$U_1 = t \cdot V_1 = |V_1 - (n \cdot V_1)n|$$

$$\tau_w = \tau_w [t \cos(\alpha_1) + b \sin(\alpha_1)]$$

Тепловой пограничный слой

Пристеночные функции для аппроксимации профиля температуры

Выражают зависимость безразмерной температуры от расстояния до стенки

Известные пристеночные функции:

Кадер (1981):

$$T^+(y^+) = y^+ Pr e^{-\Gamma} + \left\{ 2.12 \ln \left[(1+y^+) \frac{2.5(2-y/\delta)}{1+4(1-y/\delta)^2} \right] + \beta(Pr) \right\} e^{-1/\Gamma}$$

$$\beta(Pr) = (3.85 Pr^{1/3} - 1.3)^2 + 2.12 \ln(Pr),$$

$$\Gamma = 0.01 (y^+ Pr)^4 / (1 + 5y^+ Pr^3)$$

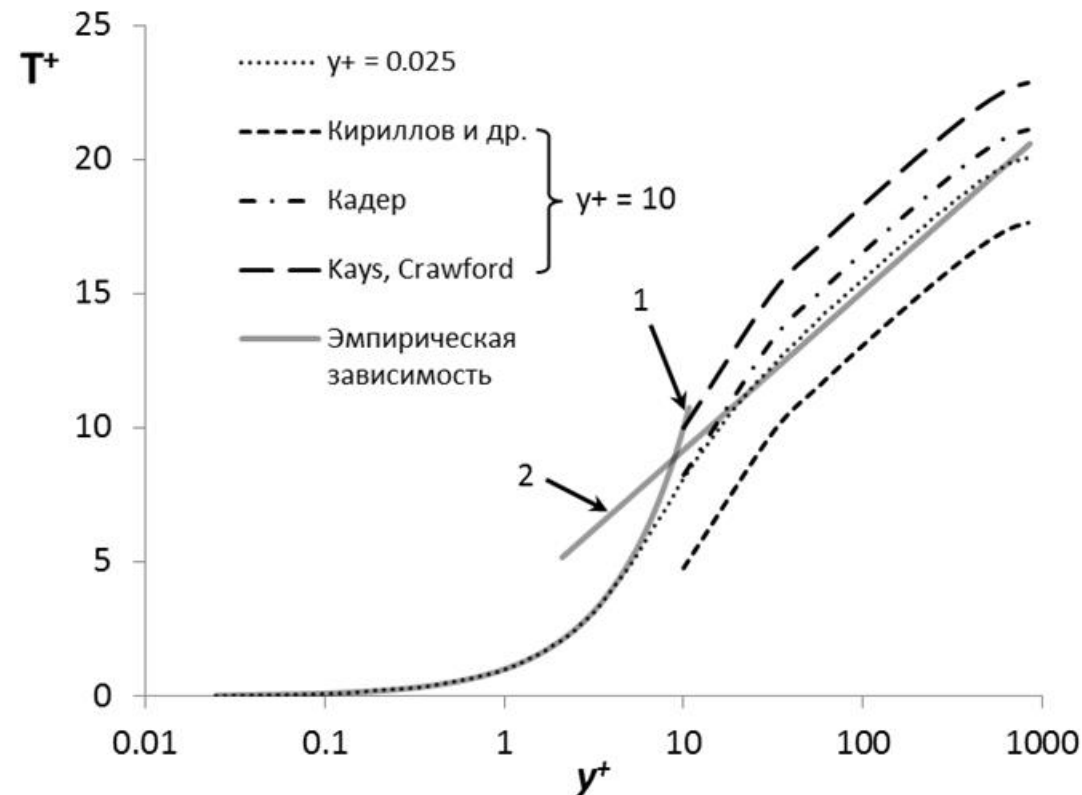
Кириллов и др. (1990)

$$T^+(y^+) = \begin{cases} y^+ Pr, & y^+ Pr < 1 \\ 1.87 \ln(y^+ Pr + 1) + 0.065 y^+ Pr - 0.36, & 1 \leq y^+ Pr \leq 11.7 \\ 2.5 \ln(y^+ Pr) - 1, & y^+ Pr > 11.7 \end{cases}$$

Kays, Crawford (1994)

$$T^+ = \begin{cases} y^+ Pr, & y^+ \leq 13.2 \\ 2.075 \ln(y^+) + 3.9, & y^+ > 13.2 \end{cases}$$

Профиль температуры внутри пограничного слоя: эмпирика и результаты численного моделирования



Известные пристеночные функции даже при $y^+ \sim 10$ имеют значительные отклонения – для конечно-объемного CFD кода необходима калибровка пристеночной функции

Тепловой пограничный слой

Для получения искомой зависимости производится калибровка $T^+(y^+)$ относительно результатов, полученных на самой подробной сетке $y^+ = 0.025$: подбирается такое значение T^+ , при котором $T_{max} \approx T_{max}^{0.025}$;

Пристеночная функция откалиброванная для ЛОГОС:

$$T^+(y^+) = (T_{vis}^+(1-f_1) + T_{buf}^+ f_1)(1-f_2) + T_{log}^+ f_2$$

$$f_1 = f(y_1^{+*} - \delta_1, y_1^{+*} + \delta_1, y^+)$$

$$f_2 = f(y_2^{+*} - \delta_2, y_2^{+*} + \delta_2, y^+)$$

$$f(a, b, y^+) = 0.5 \left(1 + \tanh \left[\pi \left(\frac{y^+ - a}{b - a} - 0.5 \right) \right] \right)$$

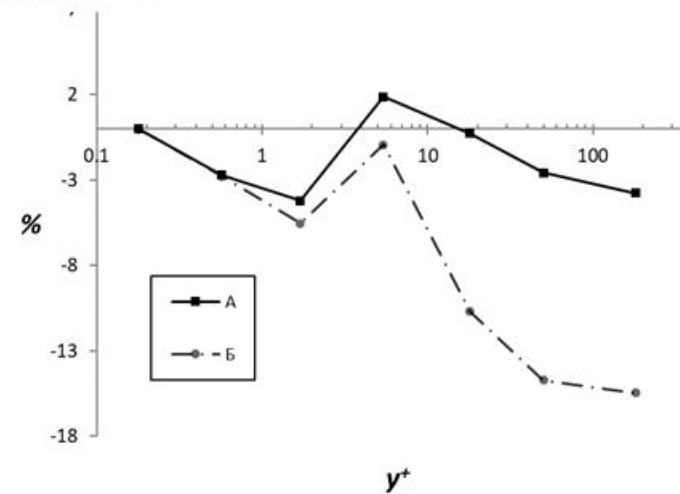
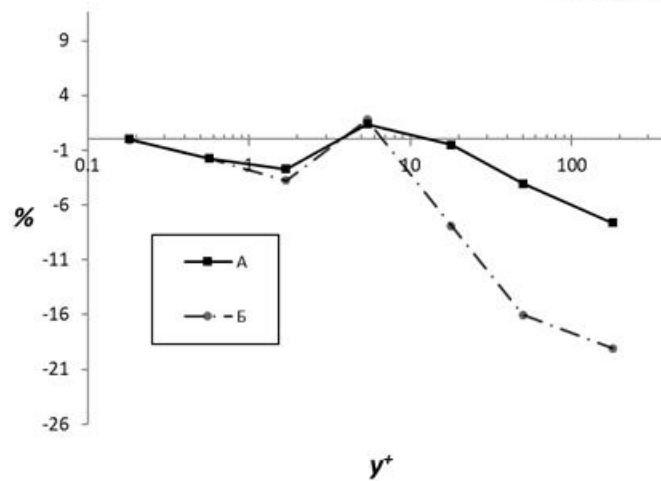
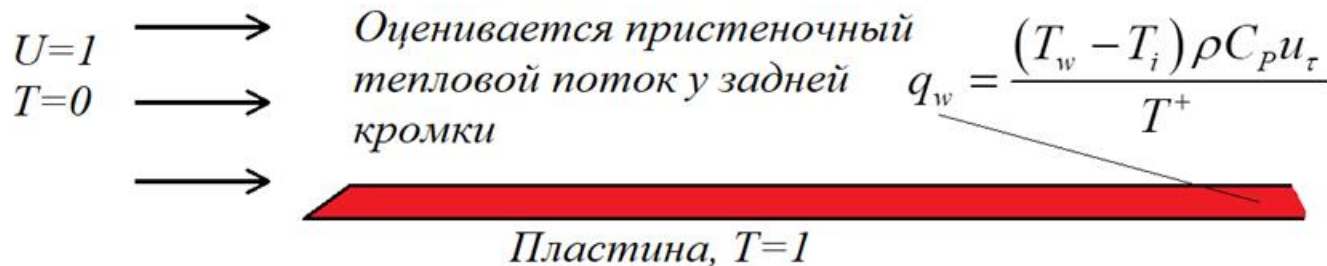
$$T_{vis}^+ = y^+ Pr$$

$$T_{buf}^+ = (2.831Pr + 1.1545) \ln(y^+) - 0.8334Pr - 1.4546$$

$$T_{log}^+ = 2.2 \ln(y^+ Pr + 8) + 5.4195Pr - 3.8355$$

Анализ точности моделирования теплового пограничного слоя на сетках с разной плотностью пристеночного разрешения

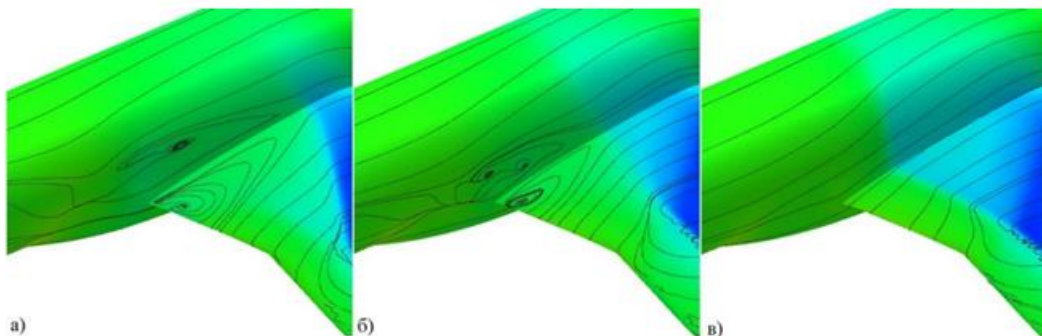
Обтекание пластины турбулентным тепловым потоком, $Re_w = 10^7$



Пристеночная функция ЛОГОС («А»), Кадера («Б»).

Аэродинамика

«Крыло-фюзеляж»



Энергетический спектр: 1 – эксперимент [*], 2 – $E \sim k^{-5/3}$, 3 – схема Роу, 4 – схема AUSMPW

- Противопоточные схемы Роу и AUSMPW занижают высокочастотную часть спектра
- Схема AUSMPW диссипативна, но не в такой степени, как схема Роу
- Использование данных схем в оригинальном виде для расчета отрывных течений затруднительно, из-за высокой численной диссипации

Схема Роу:

$$F_{UD} = \frac{1}{2}(F_L + F_R) - \frac{1}{2}|A|(U_L + U_R)$$

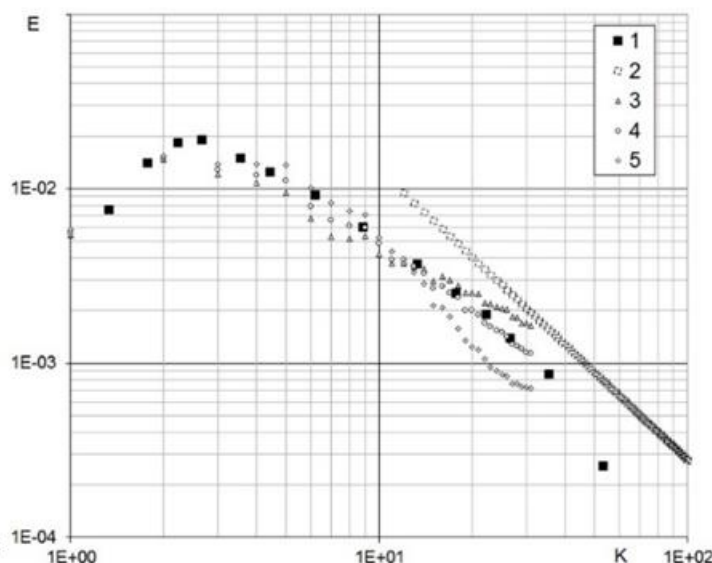
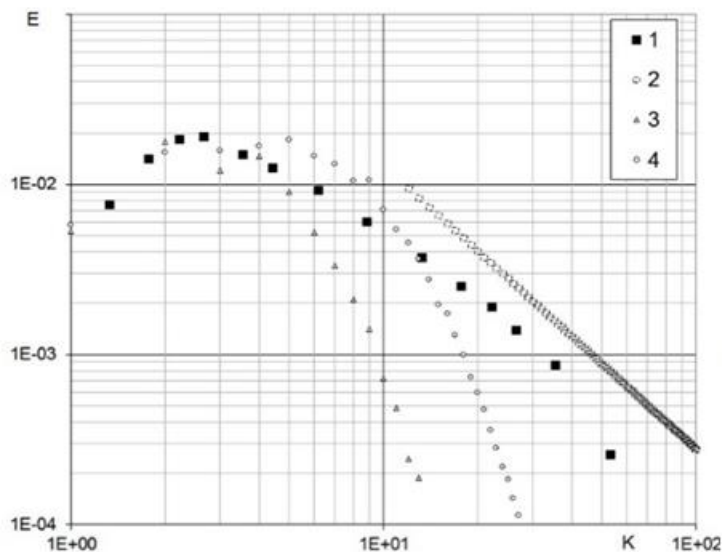
Модифицированная низко-диссипативная схема Роу:

$$F_f = \frac{1}{2}(F_L + F_R) - \frac{1}{2}\varepsilon|A|(U_L + U_R)$$

Существенное улучшение энергетического спектра

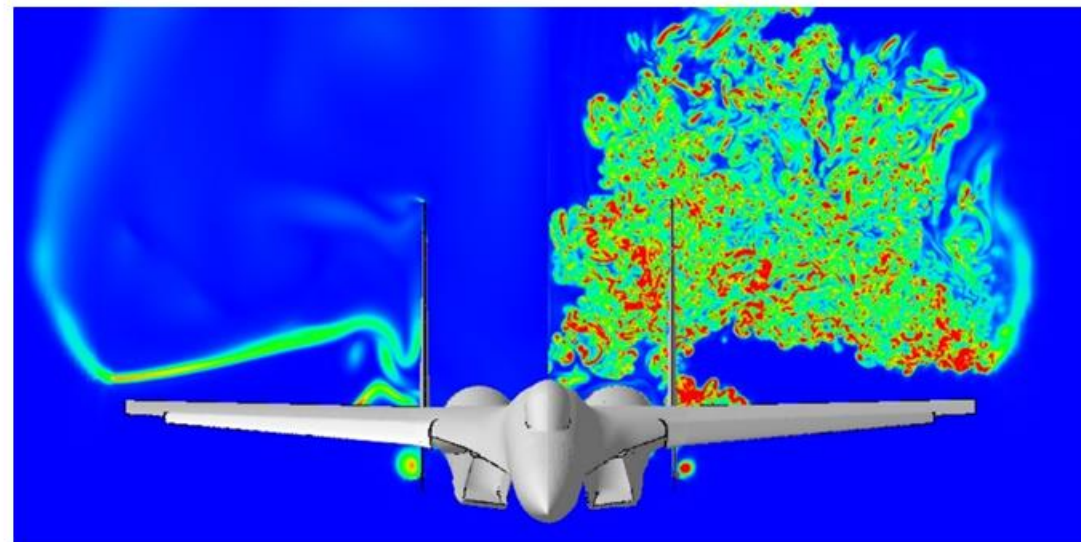
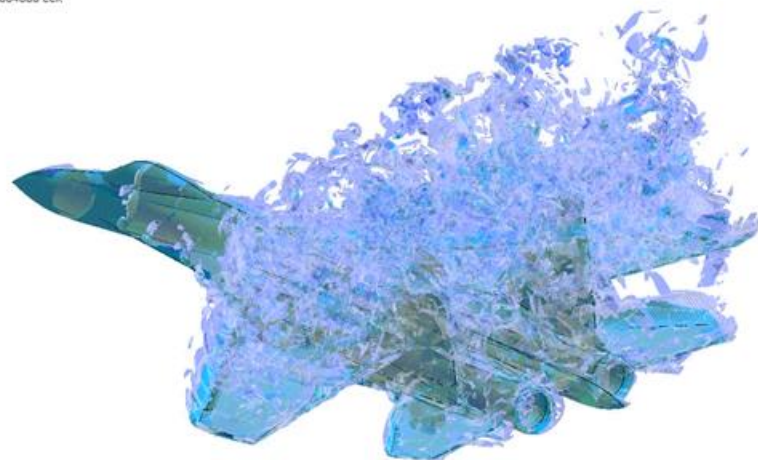
Аэродинамика - аналогично

- Калибровка констант **LES, DES**
- Низко-диссипативные схемы
- Генератор пульсаций
- Пограничный слой
- Учет вращения
- Учет теплового погранслоя



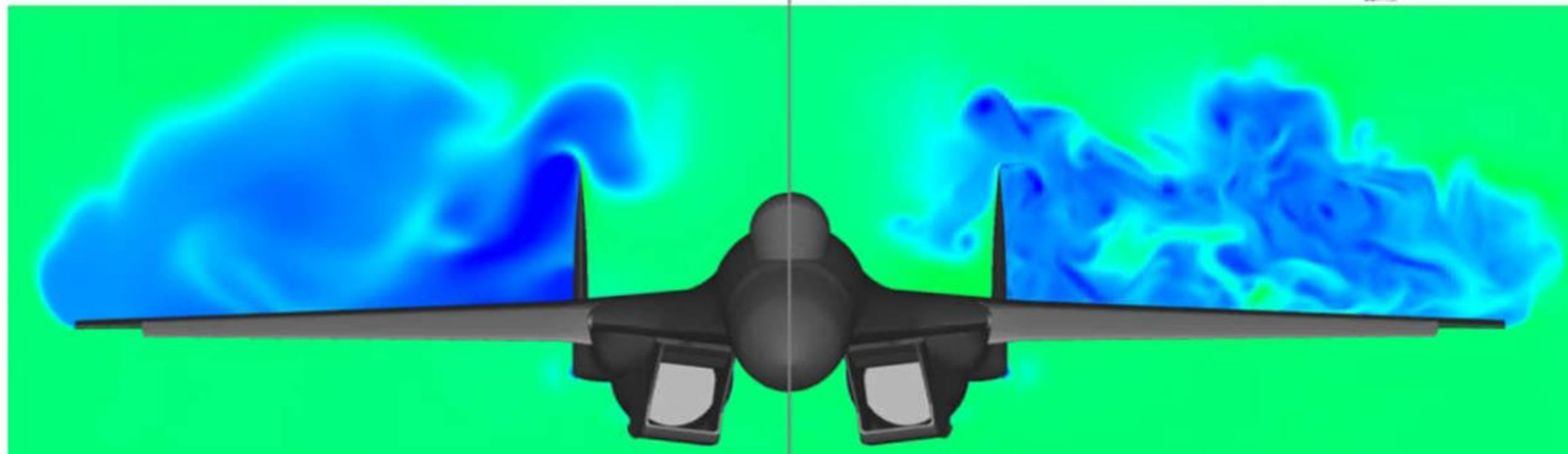
Расчет нестационарных АДХ маневренного самолета

Scientific View Met LogosTVD Time: 0.004000 сек

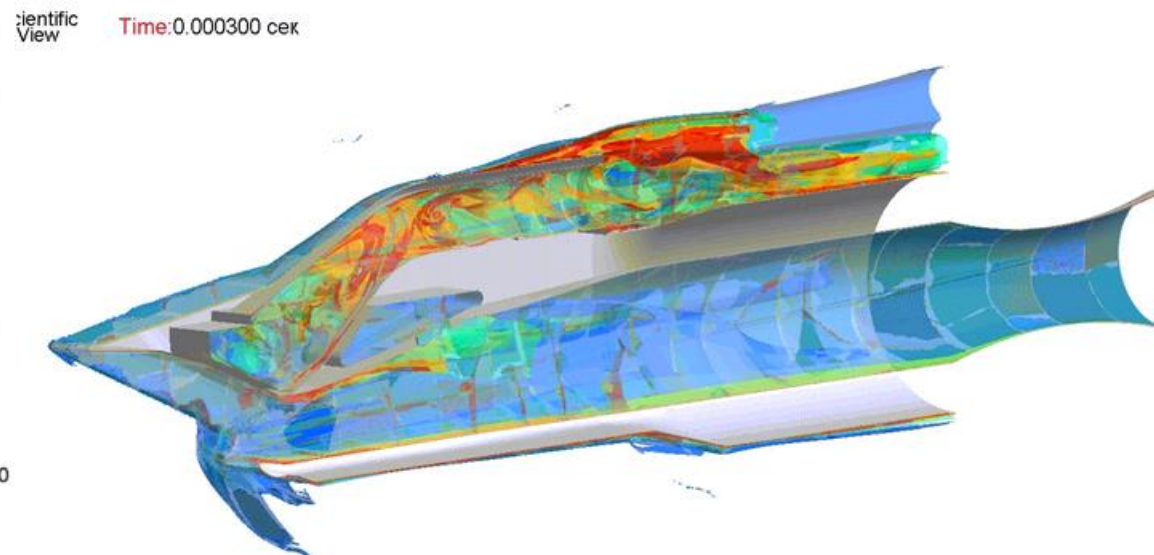
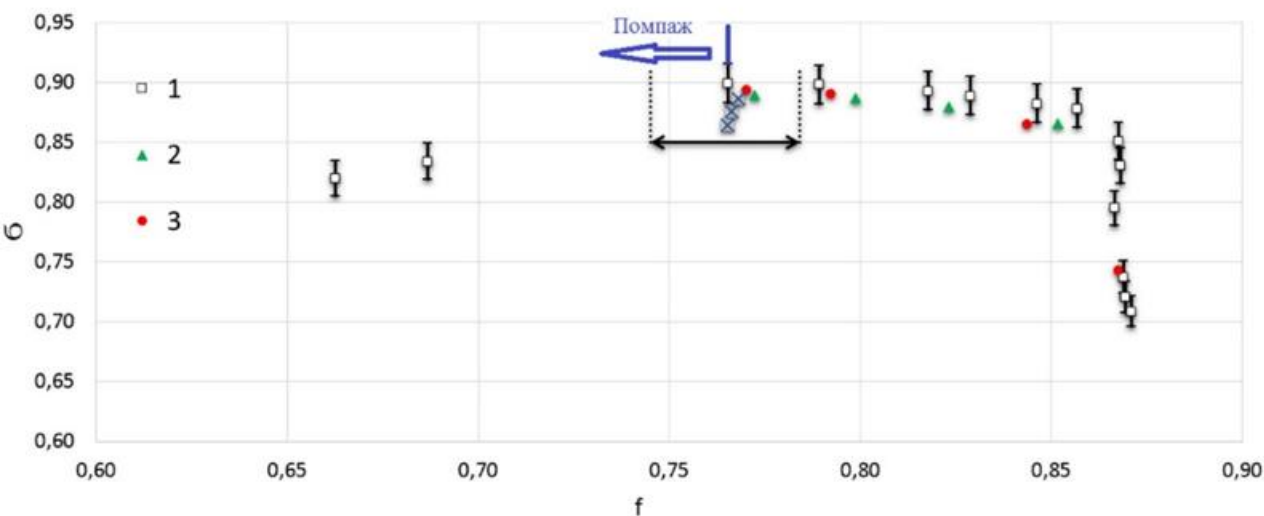
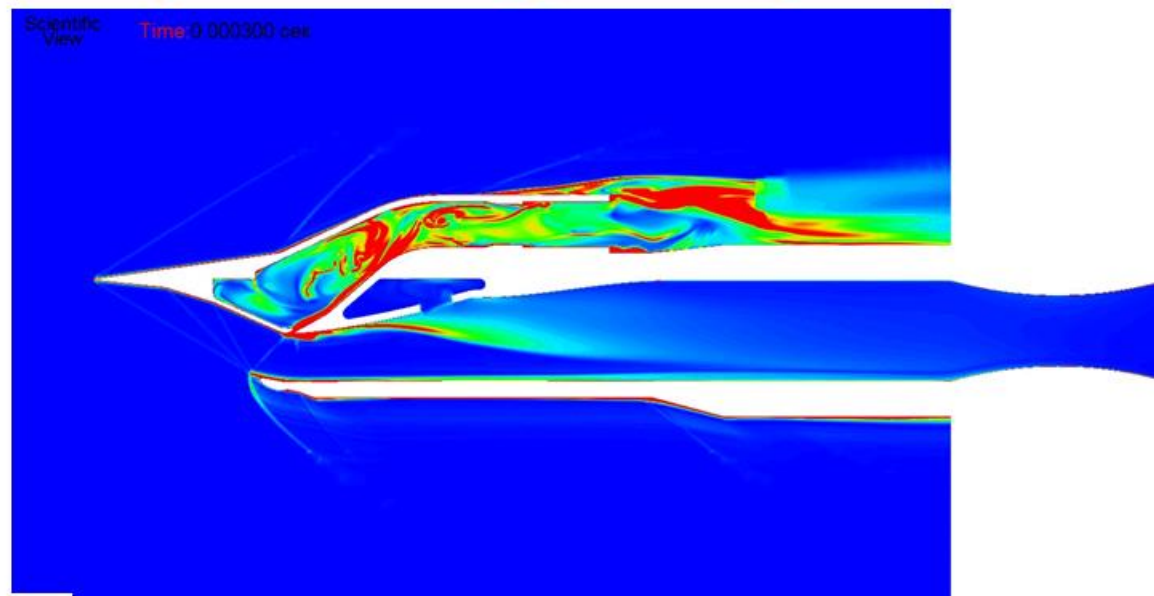
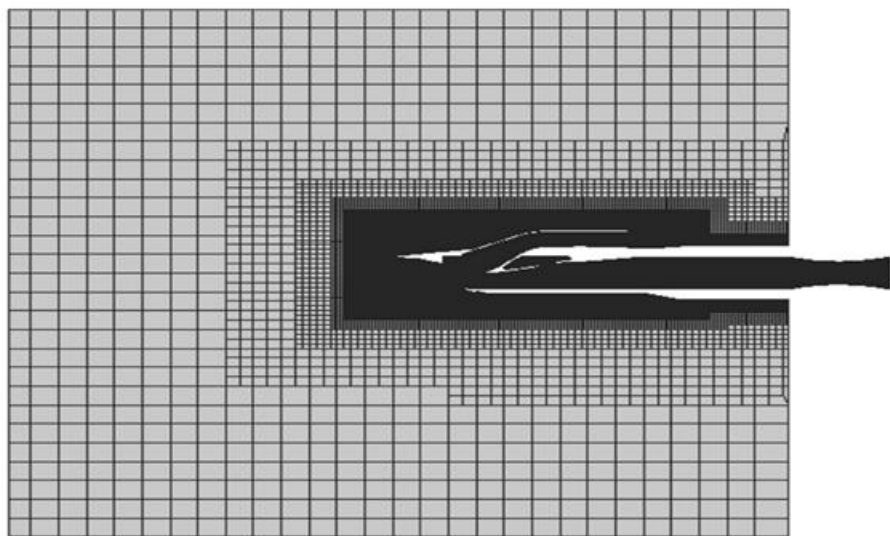


ЛОГОС, URANS

ЛОГОС, DDES

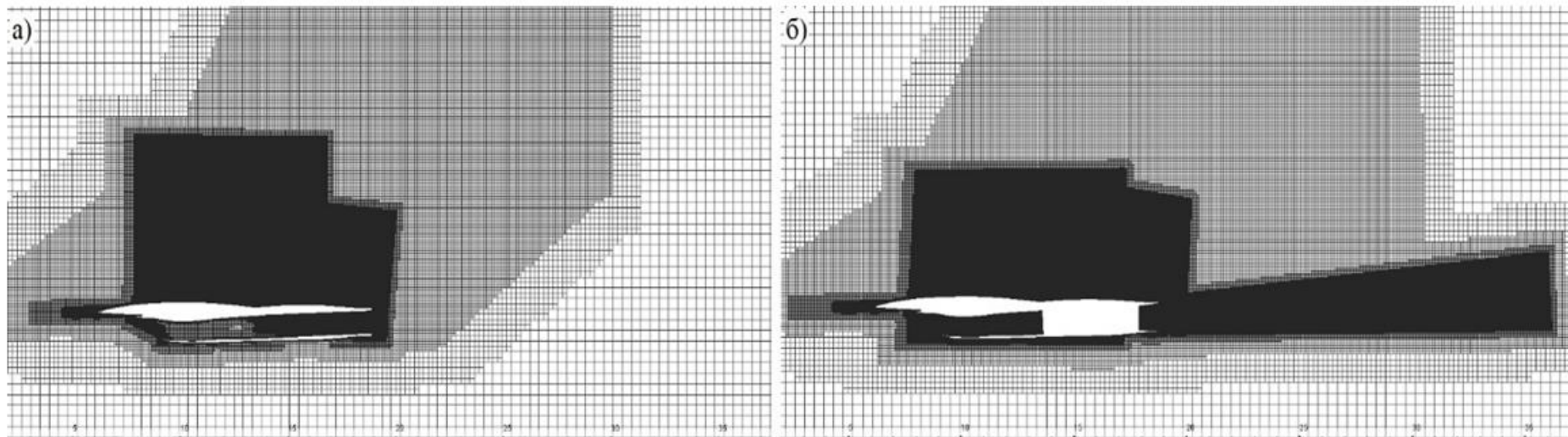


Расчет границы устойчивости работы воздухозаборника

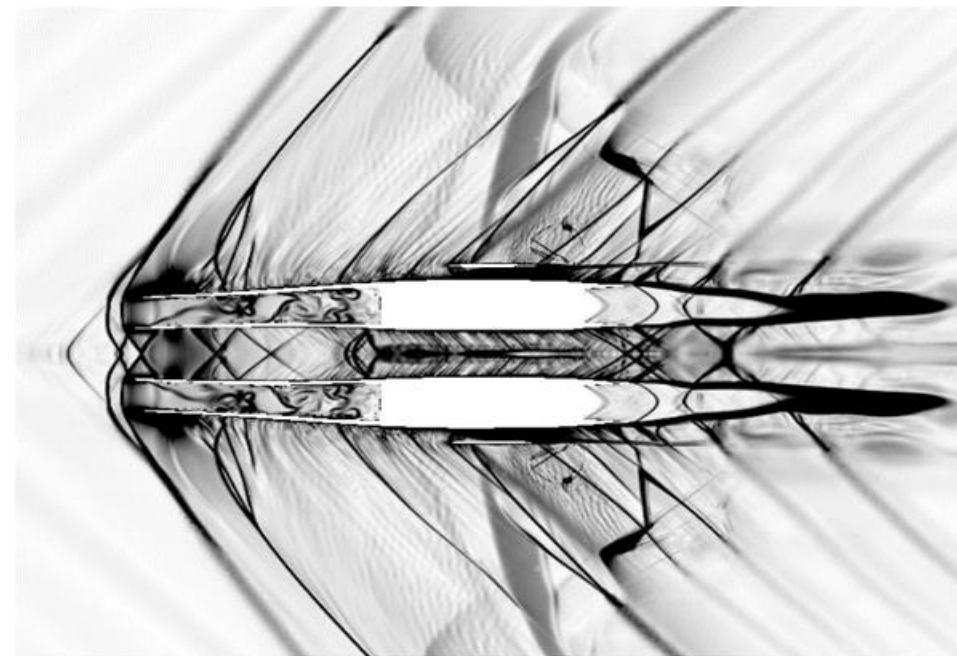
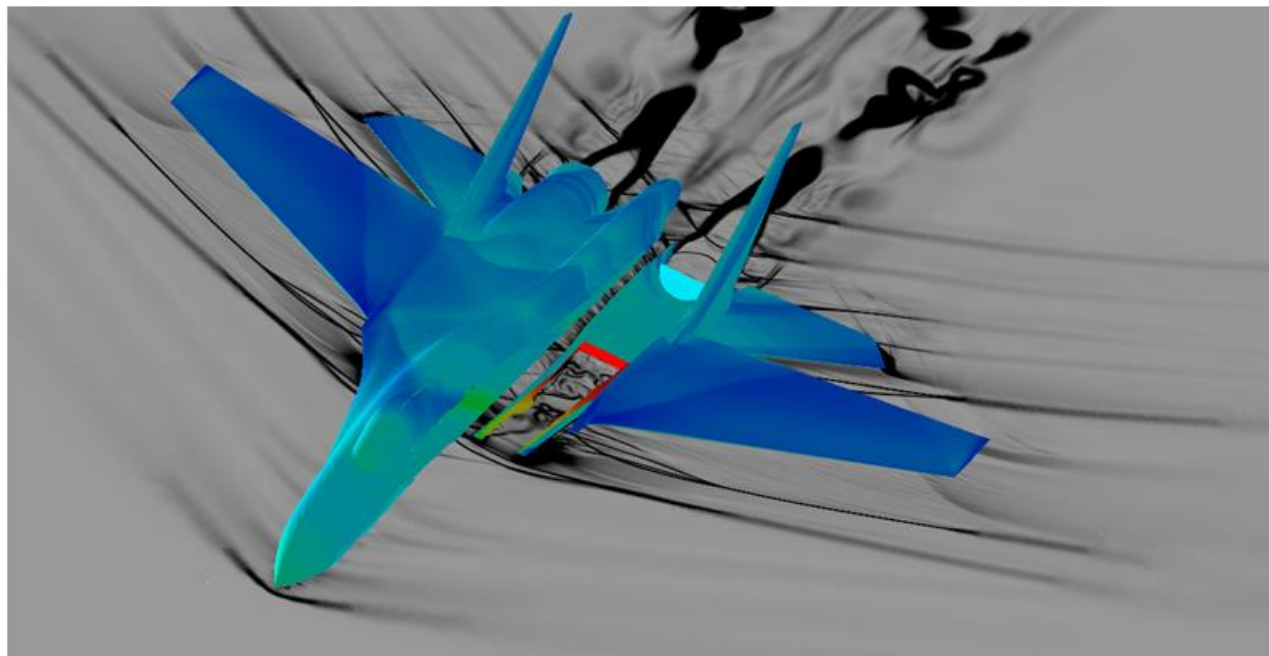


**Дроссельные характеристики:
1- эксперимент, 2 - URANS, 3 - EDES**

Расчет нестационарных АДХ маневренного ЛА с учетом работы силовой установки



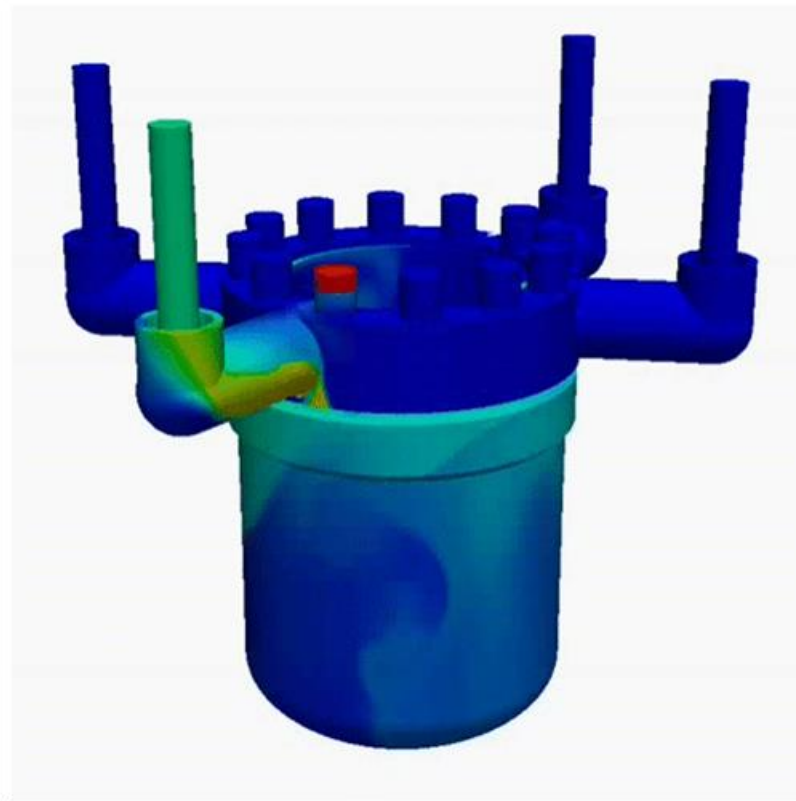
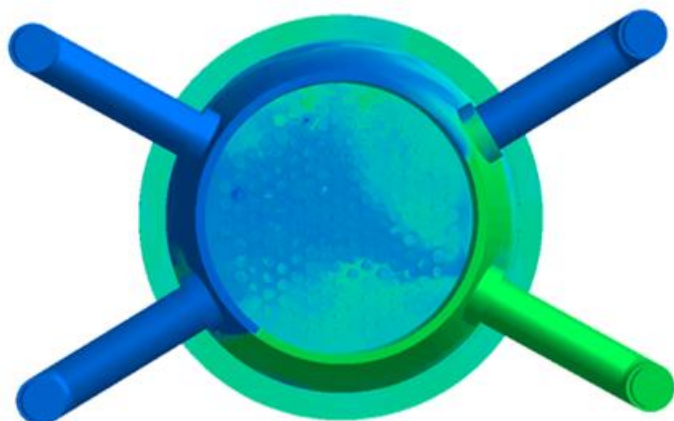
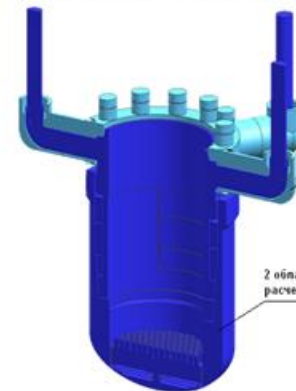
Мгновенное распределение градиента плотности



Моделирование турбулентного смешения неизотермических потоков в напорной камере РУ

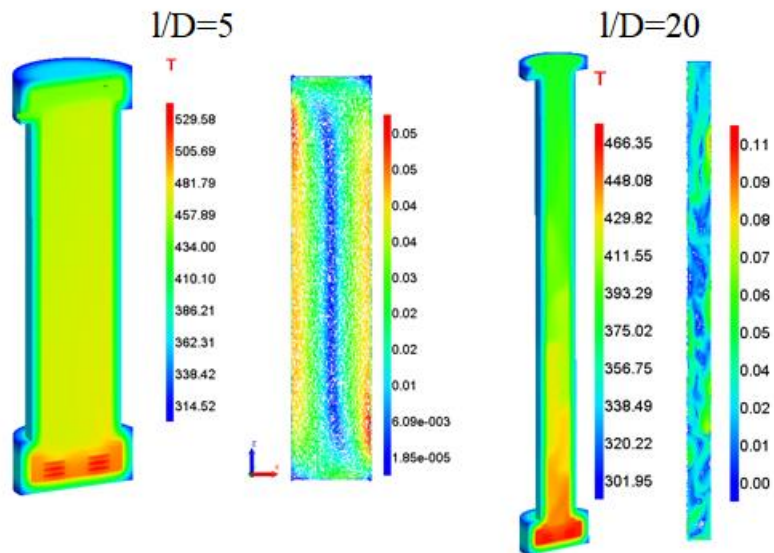
Описание модели: нестационарная гидродинамика с учетом турбулентного перемешивания, зависимости плотности от температуры, вынужденной и естественной тепловой конвекции.

Моделирование с использованием LES-модели турбулентности с учетом сопряженного теплообмена.

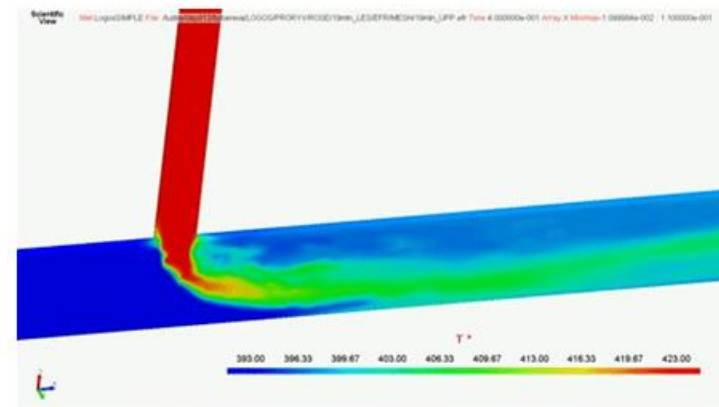
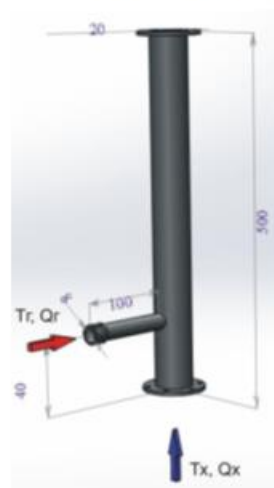


ЖМТ

Конвективное течение натрия в произвольно ориентированном участке трубопровода



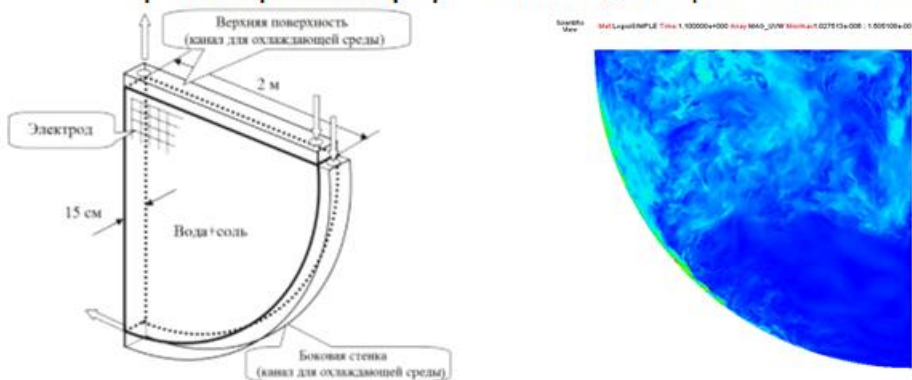
Моделирование эксперимента по смешению разнотемпературных потоков модельного ЖМТ в Т-образном смесителе



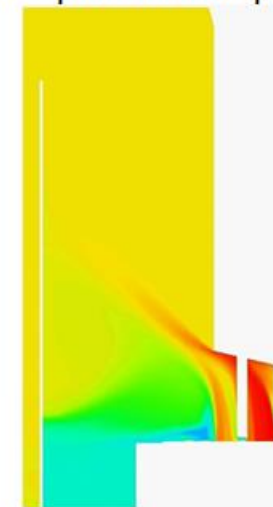
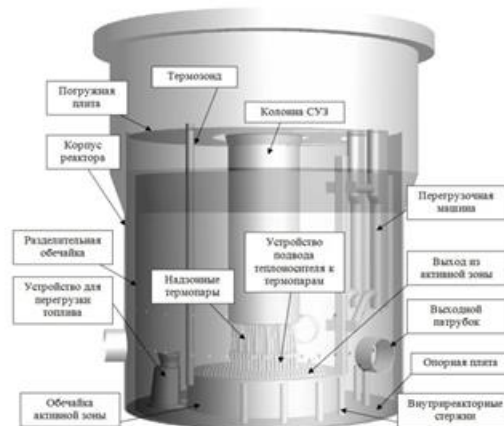
Поле температуры

Моделирование эксперимента Bali.

Исследование тепломассопереноса и моделирования конвекции в реакторе со сферическим дном в масштабе 1:1



Естественная и вынужденная конвекция в верхней камере реактора MONJU



Моделирование волнения

Международный бенчмарк – моделирование движения контейнеровоза KCS на встречном волнении. На входной границе с помощью генератора волн задается волна пятого порядка со скоростью потока 2,017м/с. Три режима расчёта различались длиной и высотой волны.

Масса судна составляет 955,78 кг, диагональные моменты инерции (110; 2222; 2222) кг·м², Координаты центра тяжести (2,9453; 0; 0,093) м.

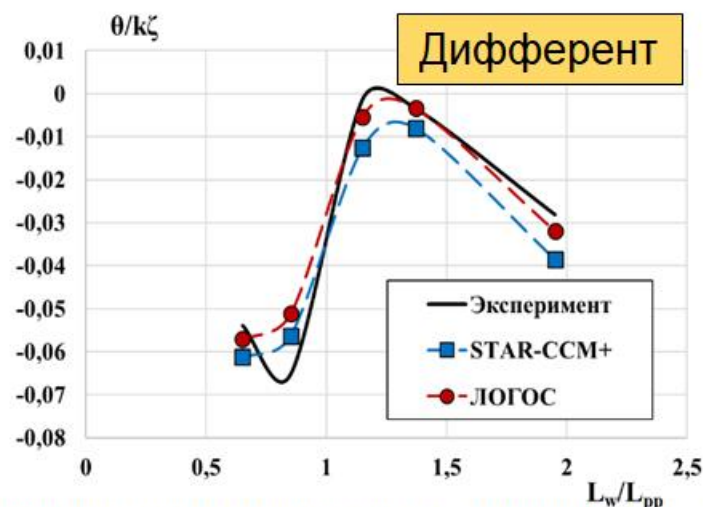
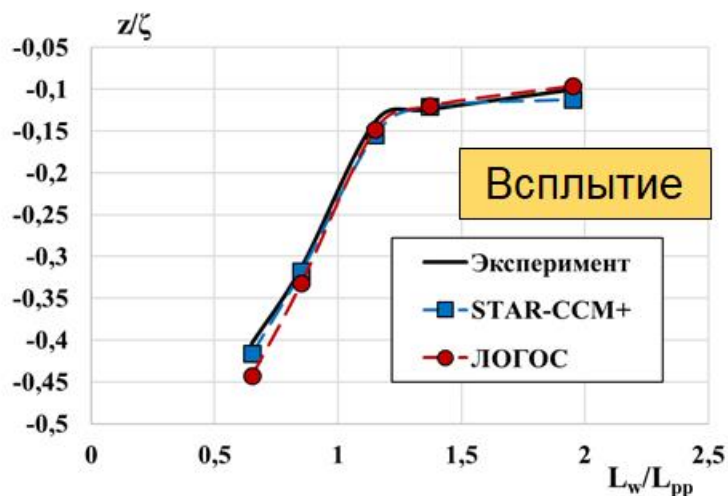
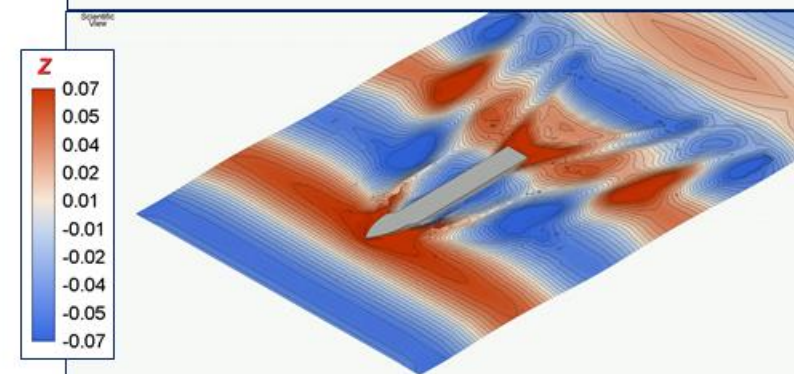
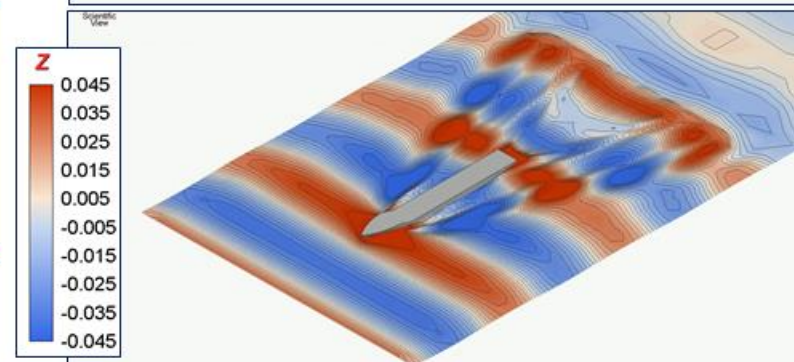
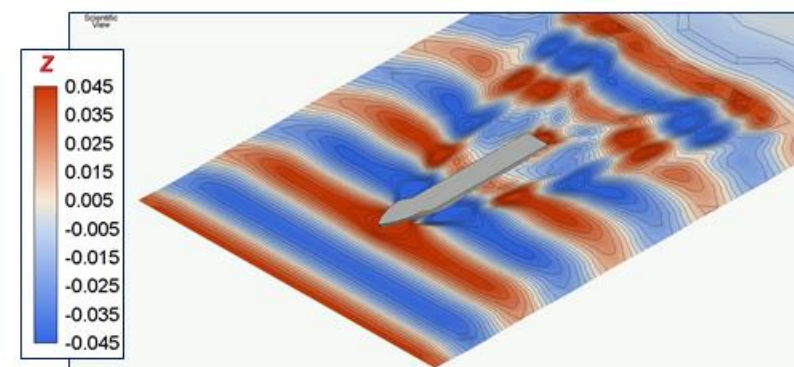
Значения физических свойств воды: динамическая вязкость $\mu_B = 0,00114$ Па·с, плотность $\rho_B = 998,63$ кг/м³.

Для воздуха: динамическая вязкость $\mu_{\text{возд}} = 1,85508E - 5$ Па·с, плотность $\rho_{\text{возд}} = 1,18415$ кг/м³

Контрольные величины:

- Коэффициент полного сопротивления
- Обезразмеренное всплытие судна
- Обезразмеренный угол дифферента

Максимальное отклонение коэффициента сопротивления составляет для одного из режимов 6%, для остальных режимов отклонение не превышает 2.5%.





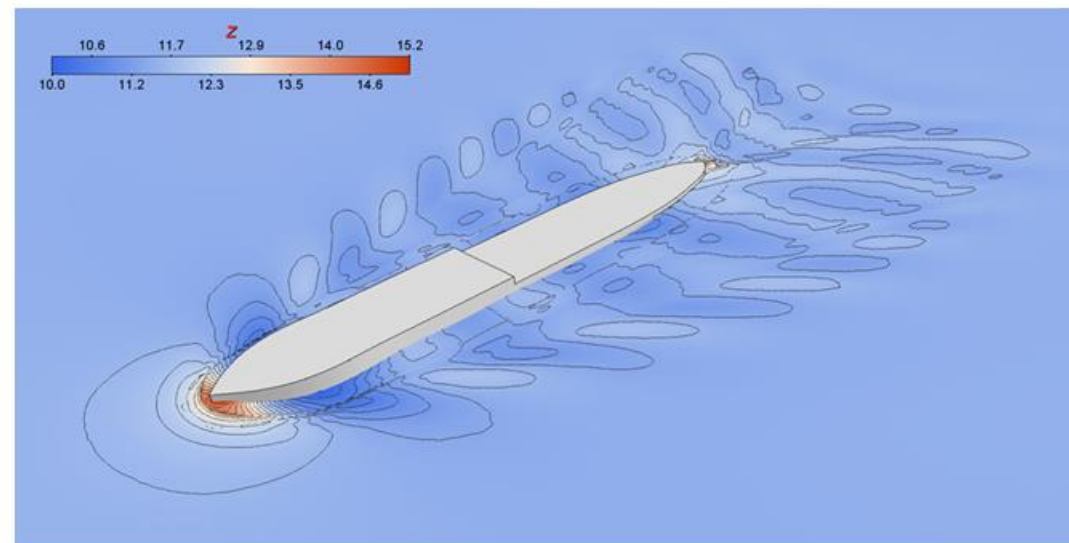
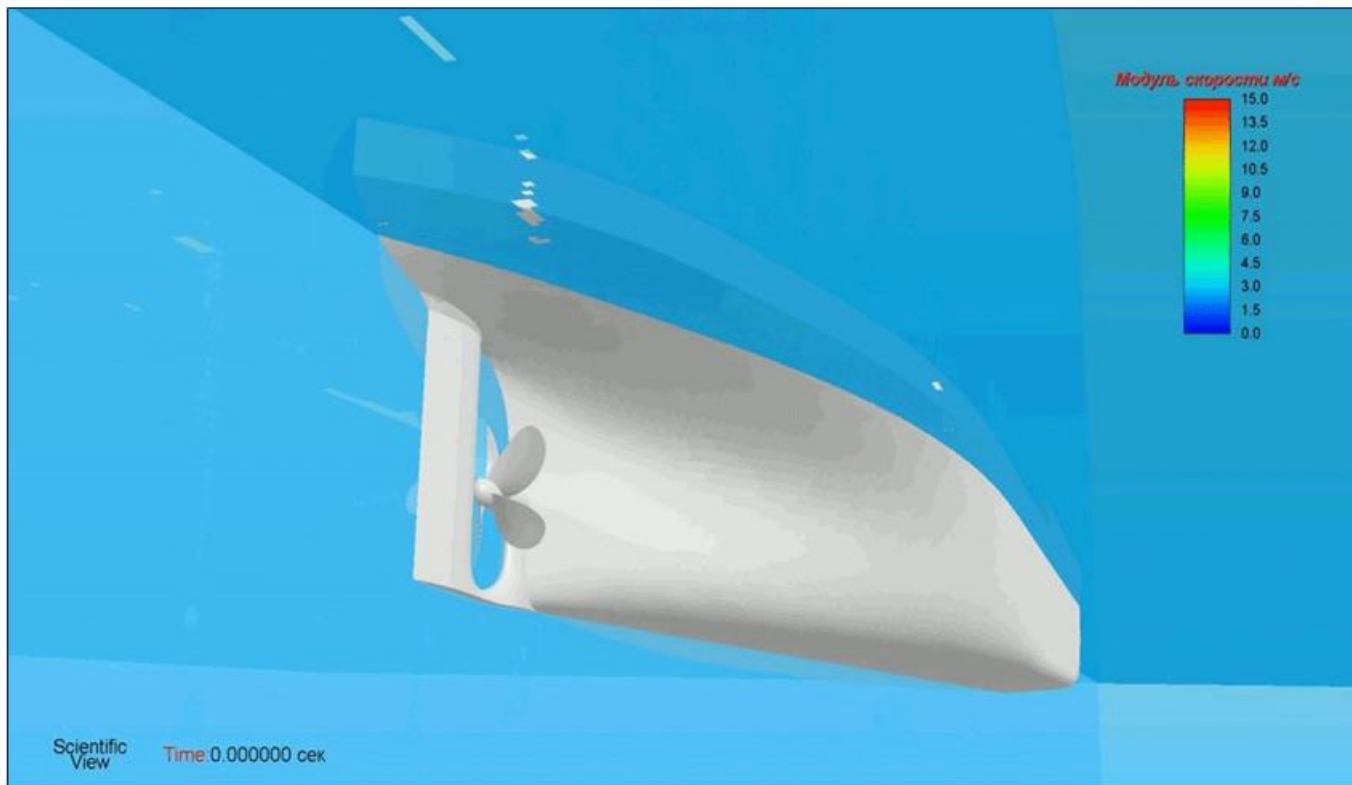
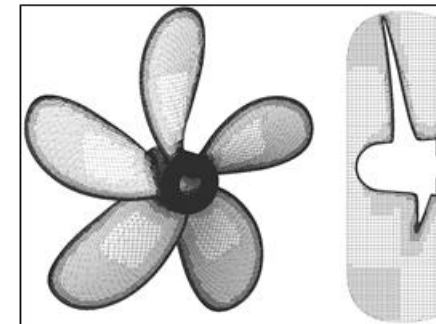
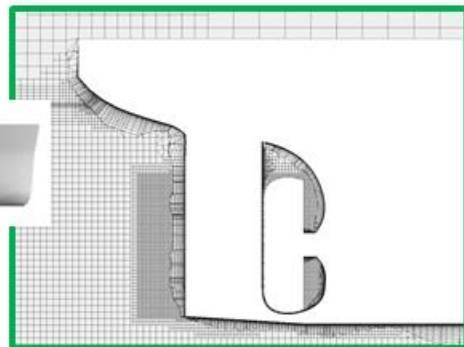
Виртуальные ходовые испытания судна

Моделирование виртуальных ходовых испытаний судна модели 1552 с вращающимся движительным пропеллером, закреплённым на ступице корабля

Скорость течения: 8,77642 м/с
Скорость вращения: 110,5 об/мин
Расчёт на сетках морфинг и химера



Схема расчетной области



Сравнение значений сопротивления элементов поверхности корпуса судна (включая руль), перемещение центра тяжести и угла дифферента не превысило 5-15%.



- Доступность вычислительных ресурсов вкупе с развивающимися методами численного моделирования позволяют охватывать все больший круг индустриальных задач вычислительной гидродинамики с использованием трехмерного моделирования турбулентности на основе современных вихреразрешающих моделей
- При использовании произвольных неструктурированных сеток, сгенерированных автоматическими сеточными генераторами, в областях со сложной геометрической конфигурацией требуется адаптация вычислительных подходов и алгоритмов для применения вихреразрешающих моделей турбулентности

СПАСИБО ЗА ВНИМАНИЕ!

Все методы и модели реализованы в пакете программ ЛОГОС-Аэрогидро